



**VISOKA POSLOVNA ŠKOLA
STRUKOVNIH STUDIJA
ČAČAK**

DIPLOMSKI RAD

**Izrada hardvera i softvera laboratorijskog radnog
mesta za ispitivanje vektorske regulacije asinhronog
motora**

Mentor: _____
Profesor: _____

Student: _____
Br.Indeksa: _____

Beograd, oktobar 1995.

SADRŽAJ

1.	UVOD	1
2.	MATEMATIČKI MODEL VEKTORSKI UPRAVLJANOG ASINHRONOG MOTORA	3
2.1	Model asinhronog motora	3
2.2	Indirektna vektorska kontrola	7
3.	HARDVER	11
3.1	Mikroprocesorska kartica	11
3.2	Sekcija za merenje brzine i pozicije	13
3.3	Digitalno-analogna konverzija	14
3.4	Strujno regulisani naponski inverter	15
4.	SOFTVER	30
4.1	Softverska osnova	30
4.2	Struktura programa	33
4.3	Listing programa	34
5.	EKSPERIMENTALNI REZULTATI	43
6.	ZAKLJUČAK	47

LITERATURA

2. MATEMATIČKI MODEL VEKTORSKI UPRAVLJANOG ASINHRONOG MOTORA

U ovom poglavlju dat je matematički model asinhronog motora, čije se upravljanje zahteva i izložene su teoretske osnove indirektno vektorske kontrole, kojom je zahtevano upravljanje realizovano.

2.1. Model asinhronog motora

Prilikom modelovanja asinhronog motora polazne pretpostavke koje se usvajaju su postojanje raspodeljenog trofaznog namota na rotoru i statoru, rotaciona simetrija mašine, sinusoidalna promena magnetopobudne sile u zazoru (odsustvo prostornih harmonika), zanemarenje ivičnih efekata, zanemarenje gubitaka u magnetiku usled histerezisa i vihornih struja i zanemarenje efekta potiskivanja struje. Trofazni namoti statora asinhronog motora se priključuju na trofazni, prostoperiodični naponski izvor, usled čega kroz njih protiču prostoperiodične struje statora. Otpornosti statorskih namotaja su međusobno jednaki kod simetričnih mašina ($R_a=R_b=R_c=R_s$). Jednačine naponske ravnoteže za stator su:

$$\begin{aligned} u_a &= R_s i_a + \frac{d\Psi_a}{dt} \\ u_b &= R_s i_b + \frac{d\Psi_b}{dt} \\ u_c &= R_s i_c + \frac{d\Psi_c}{dt} \end{aligned} \quad (2.1)$$

Namoti rotora su kratko spojeni i u njima dolazi do indukovanja rotorskih struja. Takođe važi jednakost između otpornosti rotorskih namota ($R_A=R_B=R_C=R_r$). Za jednačine naponske ravnoteže rotora možemo pisati:

$$\begin{aligned} 0 &= R_r i_A + \frac{d\Psi_A}{dt} \\ 0 &= R_r i_B + \frac{d\Psi_B}{dt} \\ 0 &= R_r i_C + \frac{d\Psi_C}{dt} \end{aligned} \quad (2.2)$$

Fluksni obuhvati statorskih i rotorskih namotaja su dati u matričnoj formi:

$$\begin{bmatrix} \Psi_a \\ \Psi_b \\ \Psi_c \\ \Psi_A \\ \Psi_B \\ \Psi_C \end{bmatrix} = \begin{bmatrix} L_a & M_{ab} & M_{ac} & M_{aA} & M_{aB} & M_{aC} \\ M_{ab} & L_b & M_{bc} & M_{bA} & M_{bB} & M_{bC} \\ M_{ac} & M_{bc} & L_c & M_{cA} & M_{cB} & M_{cC} \\ M_{aA} & M_{bA} & M_{cA} & L_A & M_{AB} & M_{AC} \\ M_{aB} & M_{bB} & M_{cB} & M_{AB} & L_B & M_{BC} \\ M_{aC} & M_{bC} & M_{cC} & M_{AC} & M_{BC} & L_C \end{bmatrix} \begin{bmatrix} i_a \\ i_b \\ i_c \\ i_A \\ i_B \\ i_C \end{bmatrix} \quad (2.3)$$

gde su: $L_a=L_b=L_c=L_{ss}$ - sopstvene induktivnosti statorskih namota
 $M_{ab}=M_{ac}=M_{bc}=M_{ss}$ - međusobne induktivnosti statorskih namota
 $L_A=L_B=L_C=L_{rr}$ - sopstvene induktivnosti rotorskih namota

$M_{AB}=M_{AC}=M_{BC}=M_{rr}$ - međusobne induktivnosti rotorskih namota
 $M_{aA}, M_{aB}, M_{aC}, M_{bA}, M_{bB}, M_{bC}, M_{cA}, M_{cB}, M_{cC}$ - međusobne induktivnosti statorskih i rotorskih namota

Međusobne induktivnosti M_{XY} u matrici induktivnosti su promenljive i zavise od relativnog položaja statora i rotora. Konstantne vrednosti ovih induktivnosti se mogu dobiti magnetnim raspredanjem namota statora i rotora, tj. transformacijom položaja namota tako da se nalaze pod uglom od 90^0 . Ovim trofazni sistem (a,b,c) svodimo na dvofazni (α, β) sistem, gde je ovaj novi ($\alpha - \beta$) koordinatni sistem osa vezan za stator. Matrièni prikaz transformacije raspredanja je:

$$\begin{aligned}
 \begin{bmatrix} i_{\alpha s} \\ i_{\beta s} \end{bmatrix} &= \frac{2}{3} \begin{bmatrix} 1 & \cos \frac{2\pi}{3} & \cos \frac{4\pi}{3} \\ 0 & \sin \frac{2\pi}{3} & \sin \frac{4\pi}{3} \end{bmatrix} \begin{bmatrix} i_a \\ i_b \\ i_c \end{bmatrix} = [C]_s [i]_s \\
 \begin{bmatrix} u_{\alpha s} \\ u_{\beta s} \end{bmatrix} &= [C]_s [u]_s \iff \begin{bmatrix} \Psi_{\alpha s} \\ \Psi_{\beta s} \end{bmatrix} = [C]_s [\Psi]_s \\
 \begin{bmatrix} i_{\alpha r} \\ i_{\beta r} \end{bmatrix} &= \frac{2}{3} \begin{bmatrix} \cos(\theta_r) & \cos(\theta_r + \frac{2\pi}{3}) & \cos(\theta_r + \frac{4\pi}{3}) \\ \sin(\theta_r) & \sin(\theta_r + \frac{2\pi}{3}) & \sin(\theta_r + \frac{4\pi}{3}) \end{bmatrix} \begin{bmatrix} i_A \\ i_B \\ i_C \end{bmatrix} = [C]_r [i]_r \\
 \theta_r &= \theta_r(0) + \int_0^t \omega_r dt \\
 \begin{bmatrix} u_{\alpha r} \\ u_{\beta r} \end{bmatrix} &= \begin{bmatrix} 0 \\ 0 \end{bmatrix} \iff \begin{bmatrix} \Psi_{\alpha r} \\ \Psi_{\beta r} \end{bmatrix} = [C]_r [\Psi]_r \quad (2.4)
 \end{aligned}$$

Jednaèine elektriènog podsistema u $\alpha - \beta$ sistemu koordinata sada dobijaju oblik:

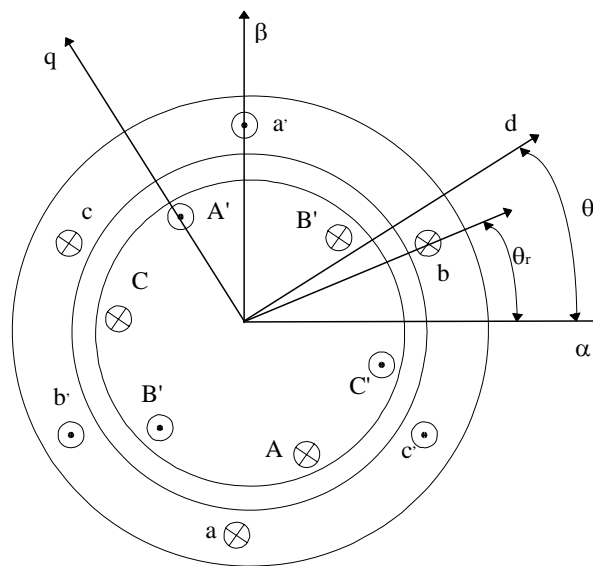
$$\begin{aligned}
 u_{\alpha s} &= R_s i_{\alpha s} + \frac{d\Psi_{\alpha s}}{dt} \\
 u_{\beta s} &= R_s i_{\beta s} + \frac{d\Psi_{\beta s}}{dt} \\
 0 &= R_r i_{\alpha r} + \frac{d\Psi_{\alpha r}}{dt} + \omega_r \Psi_{\beta r} \quad (2.5) \\
 0 &= R_r i_{\beta r} + \frac{d\Psi_{\beta r}}{dt} - \omega_r \Psi_{\alpha r} \\
 \omega_r &= \frac{d\theta_r}{dt}.
 \end{aligned}$$

Ugao θ_r je ugao koji zaklapaju osa faze a statora, uzeta za α -osu koordinatnog sistema, i osa faze A rotora i prikazan je na slici 2.1. Veza flukseva i struja je:

$$\begin{aligned}
 \Psi_{\alpha s} &= L_s i_{\alpha s} + M i_{\alpha r} \\
 \Psi_{\beta s} &= L_s i_{\beta s} + M i_{\beta r} \\
 \Psi_{\alpha r} &= L_r i_{\alpha r} + M i_{\alpha s} \\
 \Psi_{\beta r} &= L_r i_{\beta r} + M i_{\beta s}
 \end{aligned}
 \quad (2.6)$$

gde su: L_s - induktivnost statorskog namota,
 M - međusobna induktivnost statora i rotora i
 L_r - induktivnost rotorskog namota.

Veličine u $\alpha - \beta$ stacionarnom koordinatnom sistemu su promenljive i u tranzijentnom i u stacionarnom režimu rada. Pri konstantnoj brzini i opterećenju ove veličine su sinusoidalne i uèestanost im je jednaka ugaonoj brzini obrtnog polja (ω_e).



Sl. 2.1. Ilustracija rotacione transformacije

Ukoliko bi promenljive iz stacionarnog $\alpha - \beta$ sistema transformisali u d-q koordinatni sistem koji rotira sinhrono sa obrtnim poljem, vrednosti napona, struje i fluksa bi u stacionarnom stanju postale konstantne. Položaj d-q koordinatnog sistema u odnosu na $\alpha - \beta$ koordinatni sistem određen je uglom θ_e (slika 2.1.). Transformacija rotacije vektora napona $[u]_{\alpha\beta}$ u vektor $[u]_{dq}$ je:

$$\begin{aligned}
 [u]_{dq} &= \begin{bmatrix} \cos\theta_e & \sin\theta_e \\ -\sin\theta_e & \cos\theta_e \end{bmatrix} [u]_{\alpha\beta} \\
 \theta_e &= \theta_e(0) + \int_0^t \omega_e dt
 \end{aligned}
 \quad (2.7)$$

Jednaèine elektriènog podsistema u d-q koordinatnom sistemu imaju izgled:

$$\begin{aligned}
u_d &= R_s i_d + \frac{d\Psi_d}{dt} - \omega_e \Psi_q \\
u_q &= R_s i_q + \frac{d\Psi_q}{dt} + \omega_e \Psi_d \\
0 &= R_r i_D + \frac{d\Psi_D}{dt} - (\omega_e - \omega_r) \Psi_Q \\
0 &= R_r i_Q + \frac{d\Psi_Q}{dt} + (\omega_e - \omega_r) \Psi_D
\end{aligned} \tag{2.8}$$

Indeksi d i q označavaju promenljive statora, dok se D i Q indeksi nalaze uz promenljive rotora. Uz pretpostavku da su koeficijenti induktivnosti konstantni, veze između flukseva i struja su:

$$\begin{aligned}
\Psi_d &= L_s i_d + M i_D \\
\Psi_q &= L_s i_q + M i_Q \\
\Psi_D &= L_r i_D + M i_d \\
\Psi_Q &= L_r i_Q + M i_q
\end{aligned} \tag{2.9}$$

Elektromagnetni moment se može odrediti kao vektorski proizvod vektora struje i vektora fluksa statorskog namotaja. Tako određen moment, izražen preko transformisanih vrednosti fluksa i struje u d-q koordinatnom sistemu, dobija oblik:

$$T_e = \Psi_d i_q - \Psi_q i_d \tag{2.10}$$

Korekcija izraza elektromagnetnog momenta se vrši jer transformacije nisu invarijantne po snazi, a i da bi važio za mašine sa proizvoljnim brojem pari polova (p - broj pari polova):

$$T_e = \frac{3}{2} \cdot \frac{p}{2} (\Psi_d i_q - \Psi_q i_d) \tag{2.11}$$

Jednačina koja kompletira model asinhronog motora opisuje mehanički podsistem:

$$J \frac{d\omega_r}{dt} + K_t \omega_r = T_e - T_l \tag{2.12}$$

gde je: J - moment inercije,
 K_t - koeficijent trenja i
 T_l - moment opterećenja.

2.2. Indirektna vektorska kontrola

Kontrolom amplitude vektora statorske struje i njegove orijentacije u odnosu na vektor rotorskog fluksa se ostvaruje raspregnuto upravljanje fluksom i momentom asinhronog motora. Za ovakvo upravljanje potrebno je poznavati orijentaciju vektora rotorskog fluksa. Ugaoni pomeraj θ_e (slika 2.1.) između vektora rotorskog fluksa i ose α stacionarnog α - β koordinatnog sistema izrađunava se u matematičkom modelu rotorskog kola. Ulazne veličine u model rotorskog kola su struje statora i ugaona brzina rotora. Strujno regulisani naponski inverter, iz koga se napaja motor, omogućava manipulaciju strujnim vektorom nezavisno od opterećenja i brzine. Uz njegovu pomoć u motor se injektuje statorska struja određene amplitude i pomeraja u odnosu na vektor fluksa. Komponenta ove struje paralelna sa vektorom rotorskog fluksa određuje amplitudu fluksa, dok komponenta normalna na fluks daje moment. Transformacijom promenljivih na d-q rotacioni sistem koordinata odabran tako da se d-osa poklapa sa vektorom rotorskog fluksa, dobija se:

$$\vec{\Psi}_R = \vec{d} \cdot \Psi_D + \vec{q} \cdot 0 \Rightarrow \Psi_Q = 0 \quad (2.13)$$

Ukoliko struje rotora i fluks statora izrazimo preko struja statora i fluksa rotora:

$$\begin{aligned} \Psi_Q &= L_r i_Q + M i_q \Rightarrow i_Q = -\frac{M}{L_r} i_q \\ \Psi_D &= L_r i_D + M i_d \Rightarrow i_D = -\frac{\Psi_D - M i_d}{L_r} \\ \Psi_q &= L_s i_q + M i_Q = \left(L_s - \frac{M^2}{L_r}\right) i_q = L_\sigma i_q \Rightarrow L_\sigma = L_s - \frac{M^2}{L_r} \\ \Psi_d &= L_s i_d + M i_D = \frac{M}{L_r} \left(\frac{L_s L_r}{M} i_d + L_r i_D + M i_d - M i_d\right) = \frac{M}{L_r} \Psi_d + L_\sigma i_d \end{aligned} \quad (2.14)$$

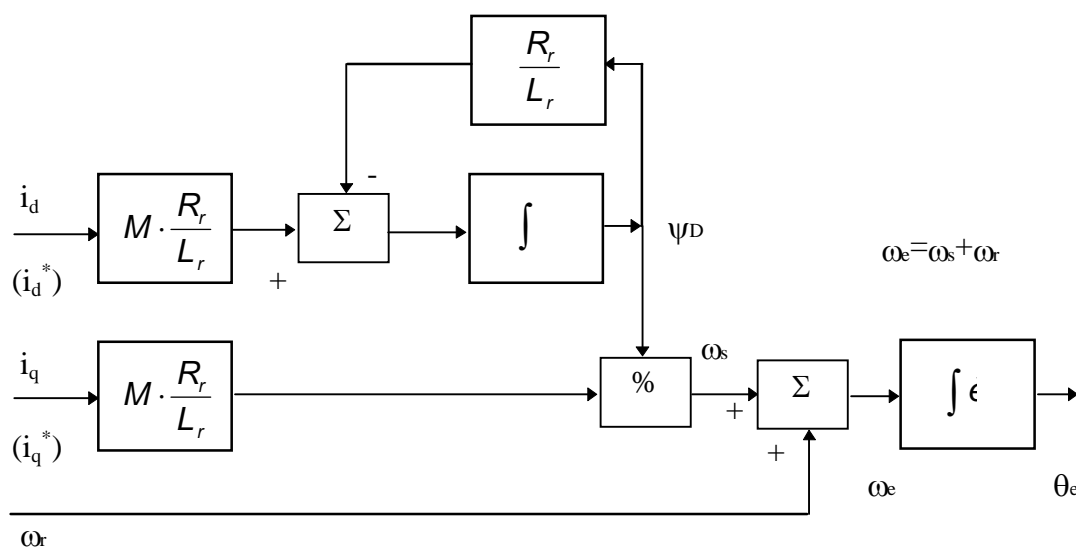
Jednačine električnog podsistema su:

$$\begin{aligned} u_d &= R_s i_d + L_\sigma \frac{di_d}{dt} + \frac{M}{L_r} \frac{d\Psi_D}{dt} - \omega_e L_\sigma i_q \\ u_q &= R_s i_q + L_\sigma \frac{di_q}{dt} + \omega_e \frac{M}{L_r} \Psi_D + \omega_e L_\sigma i_d \\ u_D &= \frac{R_r}{L_r} \Psi_D + \frac{d\Psi_D}{dt} - R_r \frac{M}{L_r} i_d = 0 \\ u_Q &= -R_r \frac{M}{L_r} i_d + (\omega_e - \omega_r) \Psi_D = 0 \end{aligned} \quad (2.15)$$

Izraz za elektromagnetni moment sada postaje:

$$T_e = \frac{3}{2} \frac{p}{2} (\Psi_d i_q - \Psi_q i_d) = \frac{3}{2} \frac{p}{2} \Psi_D i_q \quad (2.16)$$

Sada imamo raspregnuto upravljanje fluksom i momentom, èime se vektorski kontrolisani asinhroni motor izjednaèava sa motorom jednosmerne struje u pogledu regulacionih karakteristika. Jednaèine d-ose asinhronog motora analogne su jednaèinama pobudnog namota motora jednosmerne struje, dok struje q-ose odgovaraju struji armature. Ovo je omoguæeno poznavanjem položaja vektora rotorskog fluksa, što se izraèunava u modelu rotorskog kola. Na osnovu prethodno navedenih jednaèina rotorskog kola, moguæe je odrediti blok dijagram modela rotorskog kola u d-q koordinatnom sistemu, dat na slici 2.2.



Sl. 2.2. Model rotorskog kola u sinhronom d-q koordinatnom sistemu sa ilustracijom indirektnog odreðivanja orijentacije rotorskog fluksa θ_e

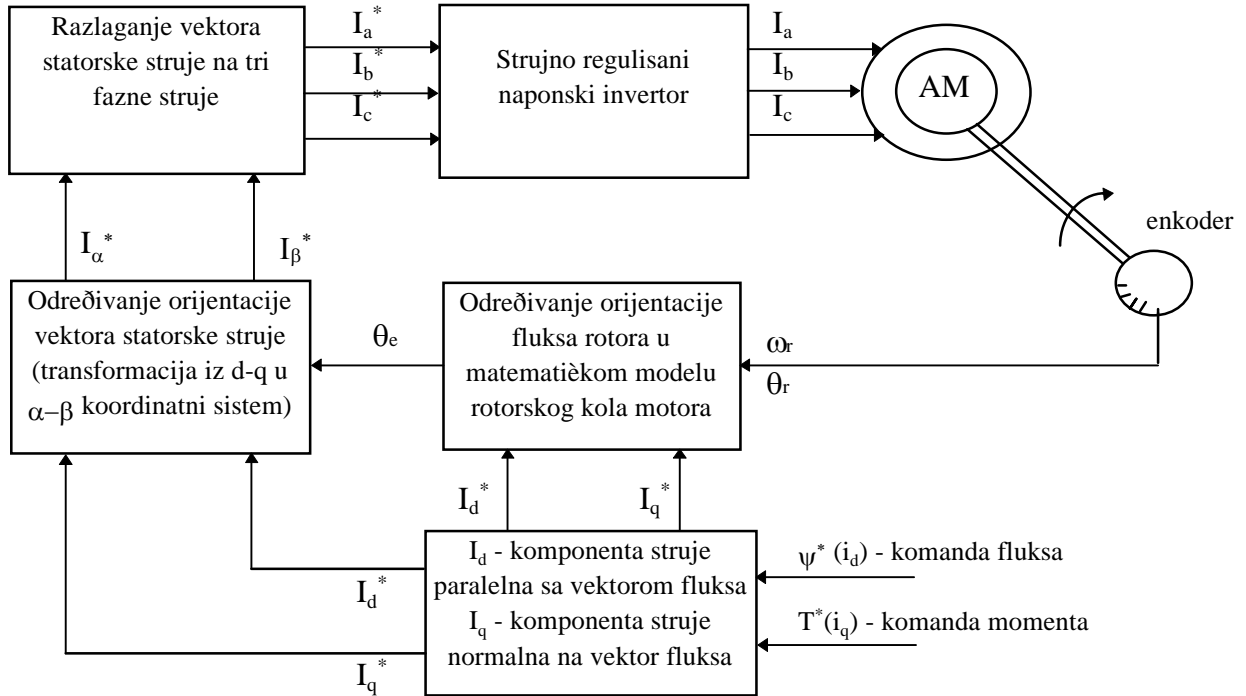
Neophodni parametri rotorskog kola za izraèunavanje vektora rotorskog fluksa su induktivnost magnetizacije i vremenska konstanta rotora, odnosno karakteristika magneænjenja mašine i vrednost otpornosti rotorskog namota. Struje i_d i i_q se odreðuju na osnovu merenja faznih struja motora, što je moguæe izbeæi u sluèaju napajanja iz strujno regulisanog naponskog invertora sa karakteristikama bliskim idealnim. Tada se razlike izmeðu komandovanih i aktuelnih vrednosti struja mogu zanemariti i kao ulazne velièine uzeti komandovane vrednosti struja i_d^* i i_q^* .

Na osnovu svega do sada izloženog, u moguænosti smo da nacrtamo principijelnu šemu indirektnog vektorskog upravljanja, što je i uèinjeno na slici 2.3.

Ulogu povratne sprege po stanju u vektorskom kontroleru ima orijentacija rotorskog fluksa θ_e izraèunata u modelu rotorskog kola. Od taènosti modela rotorskog kola, tj. odstupanja parametara modela od parametara motora, zavisiæe i performanse ovakvog pogona. Do odstupanja moæe doæi usled efekta potiskivanja struje u provodnicima rotora ka periferiji na višim uèestanostima, zasiæenja magnetnog kola glavnog fluksa i zasiæenja na putu rasipnog fluksa i temperaturnih promena otpornosti rotorskih namotaja.

U konkretnom sluèaju se radi o standardnom niskonaponskom èetvoropolnom asinhronom motoru snage 750 W. Kontrola brzine ovog motora se vrši do njegovog

nominalne vrednosti i nije predviđen za rad u oblasti slabljenja polja, niti se amplituda fluksa prilagođava opterećenju radi minimizacije gubitaka. Amplituda rotorskog fluksa se održava konstantnom, zadavanjem konstantne vrednosti struje magnetizacije i_d . U tom slučaju se induktivnost L_m ($L_m = \Psi_m / i_m$) ne menja, jer je nivo magnetnog kola konstantan.



Sl. 2.3. Principijelna šema indirektnog vektorskog upravljanja.

Kao što smo videli, ugao θ_e se određuje integracijom sume ugaonih brzina rotora (ω_r) i klizanja ($\omega_s = \omega_e - \omega_r$). Zahtev za korektnim određivanjem orijentacije fluksa je ekvivalentan zahtevu za korektnim izračunavanjem klizanja ω_s koordinatnog d-q sistema u odnosu na rotor. Kako vektorski kontroler zadaje konstantnu vrednost fluksa ψ_{D0} , određenu konstantnom vrednošću struje i_{d0} , jednačine rotorskog kola mašine postaju:

$$\begin{aligned} \frac{1}{T_r} \Psi_{d0} &= \frac{1}{T_r} M i_{d0} \quad \Leftrightarrow \quad \Psi_{d0} = \frac{\Psi_m}{i_m} i_{d0} = \frac{L_r}{R_r} \omega_s \Psi_{d0} \\ \omega_s \Psi_{D0} &= \frac{1}{T_r} M i_q \quad \Leftrightarrow \quad \Psi_{q0} = 0 \quad \Leftrightarrow \quad \Psi_{d0} = \text{const}. \end{aligned} \quad (2.17)$$

Na osnovu datih jednačina, klizanje računamo kao:

$$\omega_s = \frac{1}{T_r} \cdot \frac{i_q}{i_{d0}} \quad (2.18)$$

Nepoznanicu nam predstavlja vremenska konstanta rotora T_r , koju određujemo iz poznatih vrednosti struja i klizanja za nominalni radni režim i dobijenu vrednost uvrstavamo u model rotorskog kola.

Kao zaključak možemo reći da na osnovu poznate pozicije rotora dobijene preko inkrementalnog davača i klizanja izračunatog preko komandovanih vrednosti struja u modelu rotorskog kola, dobijamo položaj vektora rotorskog fluksa θ_e koji sa strujama i_{d0} (konstantna komponenta struje paralelna sa vektorom fluksa, kojom se kontroliše fluks) i

i_q (komponenta normalna na vektor fluksa za kontrolu momenta) daje komponentu vektora statorske struje u α - β koordinatnom sistemu:

$$\begin{aligned} i_\alpha &= i_{d0} \cdot \cos\theta_e - i_q \cdot \sin\theta_e \\ i_\beta &= i_{d0} \cdot \sin\theta_e + i_q \cdot \cos\theta_e. \end{aligned} \quad (2.19)$$

Struje i_α i i_β su izlazne veličine programa INDVEK.ASM, koji je dat na kraju ovog rada, i koje se preko D/A konvertora dovode na strujno regulisani naponski inverter za koga su one sada upravljačke veličine. U poglavljima koja slede detaljno je obrađena konkretna realizacija dosadašnjeg izlaganja.

3. HARDVER

U ovom poglavlju dat je detaljan opis hardverske osnove ovoga rada. Podela hardvera je izvršena na mikroprocesorsku karticu, koja omogućuje komunikaciju mikroprocesora sa spoljnim uređajima, sekciju za merenje brzine i pozicije, koja služi za obradu signala sa enkodera, digitalno-analognu konverziju, gde se vrši konverzija komandovanih vrednosti struja i strujno regulisani naponski invertor, kao konkretnu vezu sa asinhronim motorom. Na kraju poglavlja su priložene detaljne šeme realizacije opisanog hardvera.

3.1. Mikroprocesorska kartica

Na osnovu teorije izložene u prethodnom poglavlju, zaključujemo da su za realizaciju vektorske kontrole asinhronog motora neophodna brza i složena izrađivanja koja nam omogućava mikroprocesor. Ulaznu veličinu za ova izrađivanja predstavlja podatak o položaju rotora, dok na izlazu dobijamo komandovane vrednosti struja statora. Zahtev za dvosmernom komunikacijom između mikroprocesora i ostalih delova opreme realizuje se preko mikroprocesorske kartice, tj. sklopa za prilagođavanje, čije je rešenje predloženo u uputstvu za PC - "IBM Technical Reference". Ovo rešenje zadovoljava zahteve koji se postavljaju po pitanju komunikacije mikroprocesora sa enkoderom (ulazni podaci) i sa D/A konvertorima (izlazni podaci). Šema realizovane mikroprocesorske kartice data je na kraju poglavlja.

Kartica za prilagođavanje omogućava adresiranje elemenata preko kojih se komunicira sa spoljnim hardverom, kao i prenos podataka u oba smera. Za prenos podataka između spoljnih uređaja i procesora koristi se kolo 74LS245 (*Octal Bus Transceiver*) čija je uloga osmo-linijska asinhrona dvosmerna komunikacija između magistrala podataka. Pinom 1 ovog kola, označenim na šemi sa DIR (*DIR*ection *I*nput), kontroliše se smer prenosa podataka u zavisnosti od logičkog nivoa pina, dok se pinom 19, na slici označen sa \overline{G} , vrši izolovanje magistrale podataka. Komunikacija transivera sa magistralama podataka se obavlja preko pinova označenih sa A1 do A8, sa strane mikroprocesora i sa B1 do B8, sa druge strane. Smer prenosa podataka određuje se pinovima \overline{G} i DIR prema tabeli:

Tabela 3.1. Određivanje smer prenosa podataka transivera

\overline{G}	DIR	
0	0	podaci idu prema procesoru
0	1	podaci idu od procesora
1	X	magistrale podataka su izolovane

Za adresiranje elemenata preko kojih se komunicira koriste se dva kola 74LS244 (*Octal Buffer/Line Driver*). Bafer ostvaruje tri stanja na izlaznim pinovima: nula, jedan i stanje visoke impedanse, u zavisnosti od ulaza $\overline{G1}$ i $\overline{G2}$ na način prikazan tabelom:

Tabela 3.2. Određivanje stanja izlaza bafera

$\overline{G1}, \overline{G2}$	D	Izlaz
0	0	0
0	1	1
1	X	(Z)

Na pinove 2 i 4 prvog bafera dovode se signali za čitanje, odnosno upisivanje u ili iz spoljnog uređaja (\overline{RD} i \overline{WR}), dok se na pin 11 dovodi RESET signal. Pinovi 13, 15 i 17 prvog bafera, kao i pinovi 2, 4, 6, 8, 11, 13 i 15 drugog bafera spojeni su sa adresnom magistralom. Selektovanje elemenata preko kojih se komunicira sa spoljnim hardverom, ostvaruje se signalom \overline{CS} (*Chip Select*), koji generiše kolo 74LS138 (*Decoder/Demultiplexer*). Pomoću tri adresne linije (A2, A3 i A4) koje dolaze na ulaze ovoga kola (označene sa A, B i C) moguće je adresirati osam perifernih uređaja. Kao što se vidi na šemi, na kartici se nalaze četiri kola koja su povezana sa spoljnim uređajima: tri PPI-e 8255 (*Programmable Peripheral Interface*) i jedan tajmer 8253 (*Programmable Interval Timer*).

PPI 8255 sastoji se od kontrolnog registra i tri *data buffer* registra koje uobičajeno nazivamo portovima A, B i C. Portovi su osmobitni i svaki posebno ostvaruje komunikaciju sa perifernim uređajima, koja može biti bidirekciona. Način adresiranja portova i smer protoka podataka između mikroprocesora i porta, u zavisnosti od vrednosti ulaznih signala, dat je u tabeli:

Tabela 3.3. Adresiranje portova i smer protoka signala

A1	A0	\overline{RD}	\overline{WR}	\overline{CS}	
0	0	0	1	0	sa porta A na <i>data bus</i>
0	1	0	1	0	sa porta B na <i>data bus</i>
1	0	0	1	0	sa porta C na <i>data bus</i>
0	0	1	0	0	sa <i>data bus</i> na port A
0	1	1	0	0	sa <i>data bus</i> na port B
1	0	1	0	0	sa <i>data bus</i> na port C
1	1	1	0	0	upis u kontrolni registar ako je D7=1, a ako je D7=0 onda "reset"
X	X	X	X	1	D7-D0 su u stanju visoke impedanse
1	1	0	1	0	nedozvoljena kombinacija
X	X	1	1	0	D7-D0 su u stanju visoke impedanse

Kontrolni registar je takođe osmobitni i u njega je moguće upisati podatak sa magistrale, ali ne i čitati ga. Sadržaj ovog registra određuje način rada (mod) grupa A i B i definiše smer podataka na svim portovima. Format kontrolnog registra je:

Tabela 3.4. Format kontrolnog registra

D ₇	D ₆	D ₅	D ₄	D ₃	D ₂	D ₁	D ₀
----------------	----------------	----------------	----------------	----------------	----------------	----------------	----------------

Značenje bita D₇

objašnjeno je u prethodno datoj tabeli (1 - set, 0 - reset). Bitovi D₆ i D₅ govore o modu rada grupe A (00 - mod 0, 01 - mod 1 i 1X - mod 2), dok bit D₂ određuje mod rada grupe B (0 - mod 0 i 1 - mod 1). Bitom D₄ se definiše smer porta A, a bitom D₁ smer porta B, pri

èemu 1 znaèi da je port ulazni, a 0 da je izlazni. Ista logika važi i za bitove D_3 i D_0 koji se odnose na gornji i donji deo porta C.

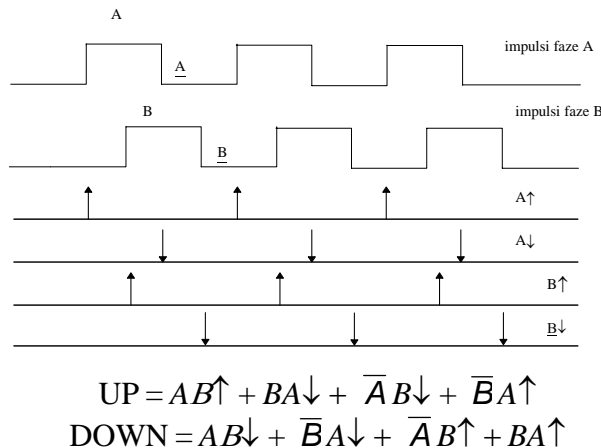
U konkretnom sluèaju svi portovi PPI#1 su definisani kao ulazni, osim donjeg dela porta C, èiji pinovi PC0 i PC1 dolaze na ulaze flip-flopova datih na šemi enkodera. PPI#2 je cela posveæena D/A konverziji, tako da su svi njeni portovi izlazni. Portovi A i B su povezani sa D/A konvertorima prikazanim na šemi D/A konverzije, dok je port C povezan sa dodatnim D/A konvertorom za praæenje prelaznih procesa. Još jedan D/A konvertor je dodat za monitoring i sa njim je povezan port C PPI#3. Portovi A i B ove PPI-e su definisani kao ulazni i povezani su sa leèevima sa kojih se upisuje podatak o trenutnom položaju rotora.

Prikazani tajmer 8253 je iskorišæen za merenje širine impulsa i broja signala inkrementalnog davaèa u kombinovanoj metodi odreðivanja brzine i njegove adrese su od 30CH do 30FH.

Adrese PPI-ja su od 300H do 303H za PPI#1 (port A ima najnižu, a kontrolni registar najvišu adresu), 304H do 307H za PPI#2 i od 308H do 30BH za PPI#3.

3.2. Sekcija za merenje brzine i pozicije

Ulazne velièine u model rotorskog kola mašine, u kome se odreðuje ugao vektora rotorskog fluksa u odnosu na α -osu stacionarnog α - β koordinatnog sistema, su struje statora i ugaona brzina rotora. Ugaona brzina se izraèunava na osnovu poznate trenutne pozicije rotora, koja se dobija sa inkrementalnog optièkog enkodera ugraðenog u laboratorijski model pogona. Enkoder svoju poziciju i brzinu saopštava preko dva signala, tj. dve povorke impulsa faza A i B. Impulsi faza su meðusobno fazno pomereni za 90° , što omoguæava odreðivanje smer obrtanja. Detekcijom uzlaznih i silaznih ivica faznih impulsa i njihovom kombinacijom sa logièkim nivoima istih, moguæe je rezoluciju enkodera uveæati èetiri puta. Ovaj postupak ilustrovan je sledeæom slikom:



Sl. 3.1. Impulsi faza enkodera

U konkretnom sluèaju, enkoderu sa 1250 impulsa po obrtaju izvršeno je udvostruèavanje impulsa na naèin koji je prikazan na šemi enkodera (brojaèi), èime mu je rezolucija poveæana na 2500 impulsa po obrtaju. Na izlazima kola IC7 i IC6 (oba su 74LS54) dobijeni su signali $DOWN = AB\downarrow + \bar{A}B\uparrow$ i $UP = AB\uparrow + \bar{A}B\downarrow$, koji detektuju smer obrtanja. Ovi signali se dovode na ulaze UP (*Count Up*) i DN (*Count Down*) èetvorobitnog binarnog brojaèa 74LS193 oznaèenog na šemi sa IC8. Izlazi ovoga brojaèa CO (*Carry Output*) i BO (*Borrow Output*) dolaze na ulaze još dva ovakva brojaèa, što

omogućava zapis dvanaestobitnog binarnog broja. Izlazi ovih brojača su dovedeni na ulaze četvorobitnih D lečeva 74LS75 čiji su izlazi povezani sa portovima A i B PPI#3. Kako se podaci na izlazima lečeva ne mogu čitati u toku tranzicije, nije moguće očitavati podatak o položaju rotora tokom prenosa informacije zbog moguće greške. Zbog toga se javlja potreba za signalom ENABLE, čije nastajanje je prikazano na šemi enkodera (flip-flopovi). Slanjem jedinice na pinove 0 i 1 porta C PPI#1, ovaj signal postaje nula i zadržava trenutno stanje na izlazima sva tri leča, čime obezbeđuje siguran prenos informacije. Ponovni protok podataka sa ulaza na izlaze lečeva omogućuje se slanjem nula na pinove 0 i 1 porta C PPI#1.

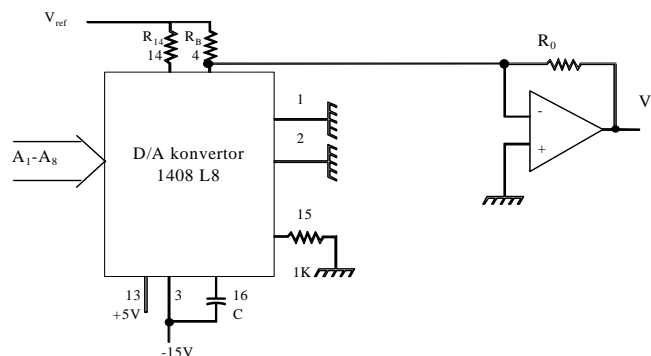
Nakon što disk enkodera napravi jedan obrt u UP ili DOWN smeru, generišući pri tom 2500 impulsa, javlja se zahtev za postavljanjem novih stanja brojača (reset i set). U slučaju kada dolaze UP signali na brojače, pri čemu se njihova stanja inkrementiraju, potrebno je izvršiti reset brojača u trenutku kada izlazi na njima dostignu vrednost 2499. Potrebnu informaciju o dostignutoj vrednosti nam obezbeđuje kolo IC14, koje preko flip-flopa (kolo 74LS74, obeleženo sa IC17) generiše signal jedan na ulazu MR (*Master Reset Input*), čime se postavljaju nule na izlazima svih brojača.

Obrnuta logika važi za DOWN smer, pri čemu se sada detektuje stanje koje odgovara nuli na izlazima brojača. Izlazi brojača su povezani sa ulazima kola 74LS27, koja u trenutku kada se pojave sve nule na njihovim ulazima, preko kola IC3, IC5 i IC16 u kombinaciji sa signalom faze B enkodera, generišu nulu na izlazu \overline{Q} flip-flopa (IC17). Ovaj signal čini aktivnim ulaz \overline{PL} (*Parallel Load Input*) svih brojača, čime se postavlja novo stanje brojača koje je prisutno na njihovim paralelnim ulazima. To novo stanje odgovara broju 2499, čime obezbeđujemo početak novog ciklusa odbrojavanja za smer DOWN.

Potreba za galvanskim odvajanjem električnih kola izvedena je pomoću optokaplera između kola ICZ, na koje dolaze signali sa enkodera i kola ICX. Ovim smo završili opis sekcije za merenje brzine i pozicije i prelazimo na opis digitalno-analogne konverzije.

3.3. Digitalno-analogna konverzija

Složena izračunavanja koja se obavljaju u mikroprocesoru i koja rezultuju izračunatim vrednostima komandovanih struja u α - β koordinatnom sistemu u digitalnom zapisu, potrebno je konvertovati u analogni oblik signala neophodan za strujnu regulaciju naponskog invertora. Digitalno-analognu konverziju vrši D/A konvertor (DAC) 1408L8 čiji je raspored pinova i način vezivanja prikazan na slici 3.2 .



Sl. 3.2. Digitalno-analogni konvertor 1408L8

Binarni ulazi ovog konvertora su pinovi 5 (najveće težine - MSB) do 12 (najniži - LSB), na koje dolazi digitalna reč koju treba konvertovati. Analogni napon na izlazu operacionog pojačavača imaće vrednost određenu jednačinom po kojoj se vrši konverzija, a u zavisnosti od stanja na ulaznim pinovima:

$$V_0 = \frac{V_{ref}}{R_{14}} \cdot R_0 \cdot \left[\frac{A_1}{2} + \frac{A_2}{4} + \frac{A_3}{8} + \frac{A_4}{16} + \frac{A_5}{32} + \frac{A_6}{64} + \frac{A_7}{128} + \frac{A_8}{256} \right] - \frac{V_{ref}}{R_B} \cdot R_0 \quad (3.1)$$

Referentni napon koji figuriše u jednačini ima vrednost od +5V, dok su vrednosti otpornika R_{14} , R_0 i R_B : 1k Ω , 2k Ω i 4k Ω respektivno. Vrednost izlaznog napona V_0 kreće se u opsegu od -10V do +10V za vrednosti digitalne reči od 0 do 255. Kako je prihvatni registar DAC-a dovoljne dužine, tako da prihvata bez odsecanja sve digitalne vrednosti ulaznog signala, analogni napon na izlazu ostaje sa zatečenom konstantnom vrednošću sve dok se ulazni digitalni signal ne promeni.

Digitalna reč na ulaze DAC-a dolazi preko dva invertora i optokaplera, što je prikazano na šemi D/A konverzije na. Optokaplerom je izvršeno galvansko odvajanje mikroprocesora od ostalog dela upravljačkog kola. Postojanje dva D/A konvertora 1408L8 je uslovljeno zadavanjem struja po α i β -osi stacionarnog koordinatnog sistema. Izračunate vrednosti ovih struja se izbacuju na portove A i B PPI#2, prikazane na šemi PC kartice, koji su na pomenuti način povezani sa konvertorima. Izlazne vrednosti čitave D/A konverzije su analogni signali komandovanih struja i to struje po α -osi sa DAC1 i njegovog operacionog pojačavača, a struje po β -osi sa DAC2 i njemu pripadajućeg operacionog pojačavača. Ovako dobijene analogne vrednosti struja dovodimo na ulaze kartice strujne regulacije.

3.4. Strujno regulisani naponski inverter

Za raspregnuto upravljanje momentom i fluksom kod vektorske kontrole asinhronog motora potrebno je odrediti i orijentaciju i amplitudu vektora magnetopobudne sile. Prostorna raspodela magnetopobudne sile zavisi od struja, pa ukoliko je moguće kontrolisati struje statorskog namota i magnetopobudna sila se može usmeriti u proizvoljan položaj uz željenu amplitudu. Zato je jedan od zahteva koji se postavlja pred pretvarač za napajanje motora i mogućnost brze izmene amplitude i faze statorskih struja. Strujni inverter ispunjava ovaj zahtev u pogledu kontrole faznog stava, ali je brzina promene amplitude struje ograničena veličinom prigušnice u jednosmernom međukolu pretvarača. Naponski inverter uz adekvatne strujne regulatore omogućava brze promene amplitude i orijentacije vektora statorske struje, zbog čega se uobičajeno koristi za napajanje asinhronih motora u pogonima visokih performansi.

Naponski inverter sa strujnom regulacijom primenjen u ovom radu možemo funkcionalno i organizacijski podeliti na sledeće delove međusobno povezane: energetska kolo, strujni regulator, prekostrujnu i prenaponsku zaštitu, pojačavač impulsa i blok za napajanje elektronike, što je i prikazano na strani

Šema energetske kola pretvarača prikazana je na kraju poglavlja. Prekidačkom akcijom trofaznog tranzistorskog mosta, jednosmerni napon U_c se konvertuje u trofazni sistem naizmeničnih napona U_a , U_b i U_c , koji imaju diskretan karakter. Ovi izlazni naponi se po potencijalu mogu izjednačiti sa pozitivnom ili negativnom oblogom kondenzatora C_1 , u zavisnosti od upravljanja prekidačima Q_1 do Q_6 . Pri tome linijski naponi U_{ab} , U_{bc} i U_{ca}

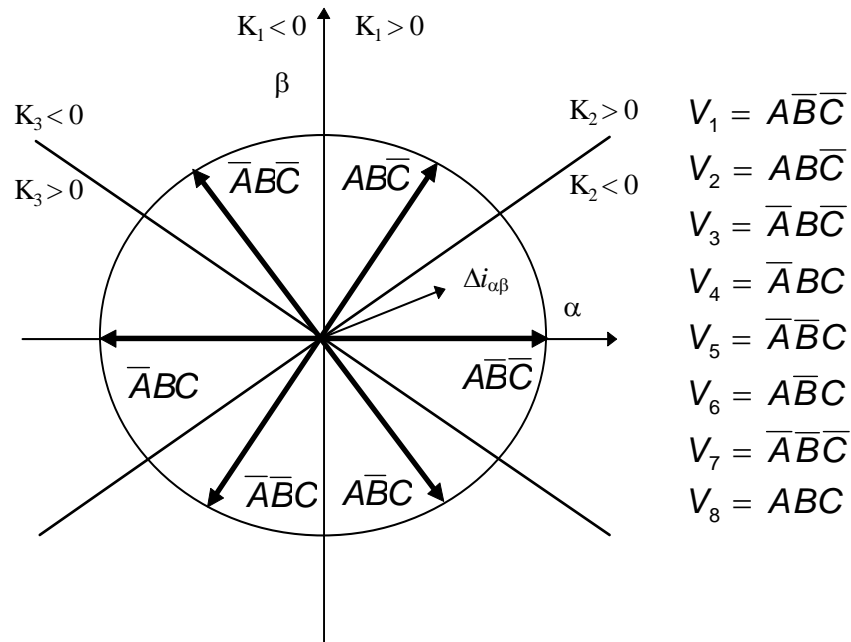
uzimaju vrednosti $+U_c$, $-U_c$ ili 0 . Neidealnosti invertora se ogledaju u tome što poluprovodnički prekidači imaju konačan pad napona, što prouzrokuje zavisnost izlaznih napona od amplitude i polariteta struje. Pored toga prelazni procesi u poluprovodničkim prekidačima zahtevaju manju ili veću pauzu između vođenja gornjeg i donjeg prekidača u svakoj od grana (Q_1 - Q_2 , Q_3 - Q_4 i Q_5 - Q_6), pa se javljaju intervali vremena (*dead time*) kada su izlazni naponi van kontrole. U neidealnosti se ubraja i konačno vreme kašnjenja između promene stanja upravljačkih signala B_1 do B_6 i promene stanja prekidača invertorskog mosta. Upravljanjem prekidačima Q_1 do Q_6 potrebno je omogućiti upravljanje statorskim strujama tako da se minimizira uticaj nelinearnosti i zavisnost struja od stanja i parametara motora.

Strujni regulator realizuje upravljački algoritam naponskog invertora. Njegove karakteristike bitno utiču na performanse vektorski kontrolisanog pogona, jer pored dinamike treba da obezbede i što manju grešku stacionarnog stanja. U konkretnom slučaju primenjen je nelinearni pristup zasnovan na diskretnom karakteru izlaznih napona. Stanje prekidača u invertorskom mostu se određuje dovođenjem greške regulisane brzine na ulaz komparatora sa histerezisom. Regulacija je izvršena u stacionarnom α - β koordinatnom sistemu gde se upravljanje invertorom vrši na osnovu vektora strujne greške: $\Delta \vec{i}_{\alpha\beta} = \vec{i}_{\alpha\beta}^* - \vec{i}_{\alpha\beta}$. Na ovaj način, zatvaranjem povratne sprege po vektoru struje $\vec{i}_{\alpha\beta}$ umesto po faznim strujama, izbegava se primena tri nezavisna regulatora međusobno zavisnih struja: $i_a + i_b + i_c = 0$. Zadate referentne vrednosti struja su i_a^* i i_b^* , dok je veza između faznih struja motora i komponenti vektora struje u stacionarnom α - β koordinatnom sistemu data jednačinama:

$$\begin{aligned} i_a &= i_a^* - \frac{i_b}{2} - \frac{i_c}{2} \\ i_b &= \frac{\sqrt{3}}{2}(i_b^* - i_c^*). \end{aligned} \quad (3.2)$$

Način realizacije strujnog regulatora prikazan je na kraju ovog poglavlja. Informacije o faznim strujama se dobijaju na osnovu poznatih vrednosti tri otpornika na jednom kraju vezanih u zvezdu. Na ovaj način je dobijen šant za merenje struja i ostvarena veza namota statora u zvezdu.

Skup izlaznih vektora, koji se mogu postići upravljanjem prekidačima invertora u vertikalama A, B i C, dat je na slici 3.3. Slova A, B i C označavaju gornje prekidače u granama invertora, a podvučeno \overline{A} , \overline{B} i \overline{C} donje prekidače u istim granama.



Sl. 3.3. Određivanje vektora statorskog napona na osnovu strujne greške u α - β koordinatnom sistemu

Pomoćne promenljive K_1 , K_2 i K_3 se formiraju iz komponenta greške $\Delta i_\alpha = i_\alpha^* - i_\alpha$ i $\Delta i_\beta = i_\beta^* - i_\beta$:

$$\begin{aligned}
 K_1 &= \Delta i_\alpha \\
 K_2 &= \frac{1}{2} \Delta i_\beta - \frac{1}{2\sqrt{3}} \Delta i_\alpha \quad (3.3) \\
 K_3 &= -\frac{1}{2} \Delta i_\beta - \frac{1}{2\sqrt{3}} \Delta i_\alpha
 \end{aligned}$$

Signali za upravljanje prekidačima invertora (B_1 do B_6) određuju se na osnovu znaka pomoćnih promenljivih K_1 , K_2 i K_3 . Na slici 3.3. se može uočiti da nema preklapanja oblasti $K_1 > 0$, $K_2 > 0$ i $K_3 > 0$, niti preklapanja oblasti $K_1 < 0$, $K_2 < 0$ i $K_3 < 0$. U slučaju da komparatori promenljivih K_1 , K_2 i K_3 nemaju ofset, pri radu invertora ne bi dolazilo do uspostavljanja "nultih" naponskih vektora $V_7 = \overline{A\overline{B}\overline{C}}$ i $V_8 = A\overline{B}\overline{C}$. Potreba za "nultim" vektorima se javlja kod primene komparatora sa histerzisom zbog rešavanja problema koji se ogleda u povećanju komutacione učestanosti u oblasti malih brzina. Ofset jednakog polariteta i amplitude prouzrokuje periodičnu pojavu "nultih" vektora napona. Ofset negativnog polariteta za posledicu ima produženo vreme vođenja prekidača Q_2 , Q_4 i Q_6 i skraćeno vreme vođenja prekidača Q_1 , Q_3 i Q_5 , jer prouzrokuje periodičnu primenu "nultog" naponskog vektora V_7 . Obrnuto važi za ofset pozitivnog polariteta i "nulti" naponski vektor V_8 . Na prikazani način se vektor statorske struje $\vec{i}_{\alpha\beta}$ održava u histerzisom određenoj oblasti oko referentne vrednosti, što čini amplitudnu i faznu grešku zanemarljivim. Tačnost u regulaciji statorskih struja se održava sve dok inverter ima dovoljnu naponsku marginu, odnosno dok elektromotorne sile indukovane u namotajima ne dostignu vrednost maksimalnog raspoloživog napona. Nelinearni strujni regulatori su praktično neosetljivi na nesavršenosti invertora, a uticaj parametara i stanja motora na regulaciju struje je gotovo eliminisan.

Šema kartice prenaponske i prekostrujne zaštite data je na kraju poglavlja. Potreba za prenaponskom zaštitom se javlja usled napajanja invertorskog mosta preko

diodnog ispravljača, koji nije u mogućnosti da energiju vraća u mrežu. Zahtev za disipacijom energije u tom slučaju zadovoljava takozvani blok za kočenje, koji se sastoji od tranzistora, diode i njoj paralelno vezanog otpornika, koji se mogu videti na šemi energetskog kola. Upravljanje tranzistorom u bloku za kočenje vrši se na osnovu informacije o naponu koja dolazi sa pozitivne sabirnice invertorskog mosta na "minus" ulaz operacionog pojačavača. U slučaju prekoračenja naponske margine, dolazi do uključivanja prekidača Q_7 i energija se disipira na otporniku vezanom redno sa prekidačem. Informacija o struji stiže do upravljačke logike prekostrujne zaštite preko šanta vezanog u negativnu sabirnicu invertorskog mosta, takođe prikazanog na šemi energetskog kola. U slučaju dostizanja gornje strujne granice dolazi do uključivanja prekostrujne zaštite, što dovodi do paljenja donjih tranzistora Q_2 , Q_4 i Q_6 u granama invertora čime se blokira njegov rad. Nakon otklanjanja uzročnika kvara, potrebno je deblokirati inverter i stanje na izlazu vratiti u normalno radno stanje tako što ćemo dovesti signale ispod donjeg praga. To je moguće uraditi samo pritiskom na taster za reset.

Pojačavači impulsa, ili kako se još nazivaju upaljači tranzistora, predstavljaju vezu između strujnog regulatora i tranzistora u energetskom kolu invertora. Izlazi sa kartice strujne regulacije, kojih ima dvanaest, dolaze po dva na ulaz svakog od pojačavača impulsa, gde se prvo vrši galvansko odvajanje kola regulacije od energetskog kola preko optokaplera. Upravljački signal sa izlaza optokaplera, preko pojačavačkog stepena, dolazi na bazu i emitor energetskog tranzistora. To znači da imamo šest upaljača tranzistora, plus sedmi upaljač za tranzistor u bloku za kočenje kome upravljački signal stiže sa kartice prenaponske zaštite. Na karticu upaljača tranzistora, koja je prikazana na kraju ovoga poglavlja, smeštene su po dva upaljača zajedno, što znači da imamo četiri kartice upaljača tranzistora, pri čemu je jedan upaljač neiskorišćen.

Šema bloka za napajanje elektronike je data na kraju poglavlja. U blok za napajanje dolazi jednosmerni napon od 300V sa posebnog ispravljača prikazanog na šemi energetskog kola invertora, čime je razdvojeno napajanje energetskog dela od upravljačkog. Elektronika upravljačkih kola se napaja sa +/- 15V koji se dobijaju na izlazu bloka za napajanje. Ovo spuštanje napona je izvedeno preko samooscilujućeg DC-DC pretvarača, kod koga glavni prekidač u oscilatornom kolu T_2 , pravi četvrtke na primaru feritnog transformatora TR_2 . Na sekundaru ovog transformatora se nalazi jedanaest izvoda, na čijim krajevima su vezani diodni mostovi koji preko stabilizatora napona daju željeni napon na izlazu. U inverteru postoje dve kartice blokova za napajanje, sa kojih se napajaju četiri kartice pojačavača impulsa i po jedna kartica strujnog regulatora i jedna prenaponske i prekostrujne zaštite.

Ovim smo završili opis hardvera upotrebljenog u ovom radu, dokumentovanog šemama koje slede, a na koje smo se pozivali u toku izlaganja i prelazimo na softversku osnovu rada u narednom poglavlju.

4. SOFTVER

Softver je u ovom poglavlju izložen postupno, počev od osnovnih pojmova o asemblerskom jeziku, *assembler*-u, *linker*-u i *debugger*-u, do primera jednostavnog programa. Nakon toga je data i lista svih potprograma glavnog programa sa opisom njihovog rada, da bi na kraju bio izložen i listing programa INDVEK.ASM dokumentovan opširnim komentarima.

4.1. Softverska osnova

Programski jezik koji je korišćen u ovom radu je assembler, baziran na *Microsoft Macro Assembler*, verzija 1.25. Asemblerski jezik ne spada u jezike višeg nivoa, što programiranje u ovom jeziku čini sporijim i težim. Vreme potrebno za definisanje problema, odstranjivanje i ispravljanje grešaka u programu, testiranje i izradu dokumentacije je mnogostruko duže nego kod viših programskih jezika. Pored toga, potrebno je voditi računa i o konfiguraciji računara na kome se program izvršava.

Sa druge strane, programski jezici višeg nivoa zahtevaju obimniji hardver i softver, teško se optimiziraju i nemaju mogućnosti da koriste specifične karakteristike računara. Prednosti asemblerskog jezika ogledaju se i u proizvodnji efikasnijih programa na mašinskom jeziku. Primena assemblera pokazala se efikasnijom kod pisanja ulazno/izlaznih rutina, vremenskog ubrzavanja i skraćivanja kritičnih sekcija, rada sa *ROM BIOS* i *DOS* servisima, kao i kod korišćenja ili modificiranja operativnih sistemskih funkcija.

Program napisan u asemblerskom jeziku predstavlja izvorni modul koji je potrebno prevesti na mašinski jezik, razumljiv mikroprocesoru, što radi program nazvan *assembler*. On konvertuje instrukcije asemblerskog jezika u binarni oblik, tj. u oblik poznat kao object code. Ovako formiran fajl ima ekstenziju *.OBJ i pored izvršnog mašinskog koda sadrži i dodatne informacije o strukturi izvršnog programa. Sada je potrebno izvršiti povezivanje odvojenih delova objekat fajlova u jedan i njegovo konvertovanje u izvršni program sa ekstenzijom *.EXE. To se radi pomoću programa koji se zove *linker*. Program *debugger* omogućava da program unesemo u sistemsku memoriju i izvršavamo ga naredbu po naredbu. Istovremeno pratimo šta se dešava sa sadržajima registara i memorijskih lokacija i na taj način vršimo proveru predloženog rešenja i otklanjanje eventualno napravljenih grešaka.

Na sledećem jednostavnom primeru biće objašnjena struktura programa pisanih u asemblerskom jeziku, njihovo prevođenje, povezivanje i provera.

```
*****
name primer                ;Ime programa-procedure koji ucitava dva
                           ;broja od 0 do 9 sa tastature,vrsi njiho-
                           ;ovo mnozenje i ispisuje rezultat na ekranu
   stek segment stack      ;Ovako se rezervise stek,potreban za sme-
   db      64      dup(?)  ;stanje trenutnih vrednosti registara pri-
   stek ends                ;likom prekida i skokova.
*****
data segment               ;U ovom segmentu se deklarisu promenljive.
x      db      1           ;Potrebne su 3 varijable u RAM-u: dve du-
y      db      1           ;zine 1 byte (db) za unesene cifre i jedna
z      dw      1           ;duzine 2 byte =word (dw) za dobijeni re-
data ends                  ;zultat.
```

```

;*****
prog segment ;Segment u kome se nalazi izvrsni deo.
assume cs:prog,ss:stek,ds:data ;Pridruzivanje segmenata deklariranih
;sanih navedenim imenima segment-
;nim registrima.

radi proc ;Pocetak procedure 'radi'.

mov ax,data ;Assembler zahteva eksplicitno punjenje
mov ds,ax ;data segmenta na navedeni nacin.
;*****
petlja: mov ah,01H ;Interrupt 21H (General DOS Service) je jedan od 5
int 21H ;glavnih DOS-ovih interrupt-a koji omogucuje poziv
;svih DOS-ovih funkcija specifikacijom njenog bro-
;ja u registru AH. Funkcija 01H (Character Input
;with Echo) ceka korisnika da posalje karakter,ci-
;ta karakter sa tastature, smesta ga u registar AL
;i radi "eho", tj. karakter ispisuje na ekranu.

cmp al,30H ;Uneseni karakter je u ASCII kodu,pa ako smo uneli
je exit ;broj 0,ciji je ASCII kod 30H,izlazimo iz programa
sub ax,30H ;Konvertujemo karaktere od 30H do 39H koji predsta
mov x,al ;vljaju ASCII kod brojeva 0 do 9 u njihove stvarne
;vrednosti.

call novired ;Pozivamo potprogram 'novired' koji vrsi pozicio-
;niranje cursor-a u novi red.

mov ah,01H ;Sada ucitavamo drugi broj, vrsimo njegovu konver-
int 21H ;ziju iz ASCII koda i upisujemo ga u promenljivu y
sub ax,30H ;na identican nacin kao za prvi broj.
mov y,al

call novired ;Ponovo pozivamo potprogram 'novired'.

mov al,x ;Vrsimo mnozenje ova dva broja (duzine byte) nare-
mul y ;dbom MUL, koja zahteva da se jedan od operandi
aam ;nalazi u akumulatoru AL.Naredbom AAM(ASCII Adjust
mov z,ax ;After Multiply) prilagodjavamo dobijeni rezulta
;ispisu na ekran, tako da prvo bude ispisan broj
;desetica pa broj jedinica. AAM instrukcija uzima
;vrednost broja u AX, gde je smesten rezultat po
;izvršenju naredbe MUL, i u AH upisuje broj dobi-
;jen deljenjem sadrzaja registra AX sa 10. U AL se
;upisuje vrednost dobijena po oduzimanju broja iz
;AH pomnozenog sa 10 od rezultata mnozenja.Ovako
;obradjen broj se smesta u promenljivu z.

mov dl,ah ;Dobijeni broj pripremamo za ispis na ekranu tako
add dl,30H ;sto prvo formiramo ASCII kod cifre desetica u regi-
mov ah,02H ;stru DL dodajuci mu broj 30H. Funkcija 02H (Chara-
int 21H ;cter Output) ispisuje na ekranu karakter ciji je
;ASCII kod smesten u registru DL. Nakon izvršenja
;instrukcije INT 21H, broj desetica ce biti ispi-
;san na ekranu.

mov ax,z ;Opisani postupak ponavljamo za broj jedinica koji
mov dl,al ;je bio smesten u donjem byte-u promenljive z,koju
add dl,30H ;prebacujemo u registar AX,a odatle iz registra AL
mov ah,02H ;u registar DL,gde formiramo ASCII kod cifre jedi-
int 21H ;nica.

call novired ;Pozivamo potprogram 'novired'.

jmp petlja ;Povratak na pocetak petlje.
;*****
novired:mov dl,0AH ;Potprogram kojim se obezbecuje prelazak u novi
mov ah,02H ;red. Postavljauci 0AH u registar DL, funkcija
int 21H ;02H ce popuniti tekuci red (Line Feed), a sa
mov dl,0DH ;0DH u DL izvršiti povratak cursor-a na pocetak,
mov ah,02H ;sada sledeceg reda (Carriage Return).

```

```

        int 21H
        ret                ;Povratak na mesto sa koga je potprogram pozvan.
;*****
exit:   mov ah,4CH        ;Izlazak iz programa i povratak u DOS pomocu funk-
        int 21H          ;cije 4CH (Terminate with Return Code) interrupt-a
        ;21H.
;*****
        prim    endp     ;Kraj procedure 'prim'.
        prog    ends     ;Kraj programskog segmenta.
        end     prim     ;Kraj programa.
;*****

```

Program PRIMER.ASM vrši množenje dva jednocifrena broja i ispisuje rezultat na monitoru. Da bi ovako napisani program mogao da se izvršava, potrebno je prvo izvršiti njegovo prevođenje pomoću *Microsoft MACRO Assembler*, verzija 1.25 jednostavnom komandom:

```
MASM PRIMER <CR>
```

Rezultat ove naredbe biće kreiranje objekta fajla pod imenom PRIMER.OBJ uz obaveštenje o eventualno napravljenim greškama. Ovaj fajl ćemo sada učiniti izvršnim pomoću *Microsoft Linker*, verzija 2.40:

```
LINK PRIMER <CR>
```

Nakon ovoga dobijamo izvršni program PRIMER.EXE, koji je spreman za upotrebu. Otkrivanje mogućih grešaka u programu vršimo pomoću *IBM Fullscreen Debugger* (FSD), verzija 1.4. Po startovanju debagera pojavljuje se maska programa koja u gornjem levom delu ekrana prikazuje sadržaje svih registara, dok se desno od njih nalazi sadržaj Procesorske Statusne Reči (PSW). U levom delu ekrana ispod registara nalazi se komandna linija, ispod koje se vidi deo listinga programa čiji se sadržaj proverava. Sadržaj memorijskih lokacija na navedenim adresama prikazan je desno od listinga, kao i ispod njega. U poslednjem redu ekrana nalazi se meni sa značenjem tastera za često korišćene komande. Upisivanje programa u FSD vrši se naredbom: l ime_programa, ispisanom u komandnoj liniji. Po završenom testiranju izlazak se obezbeđuje naredbom quit.

AX 0000	SI 0000	CS 1F27	IP 0100	Stack +0 0000	FLAGS 0200														
BX 0000	DI 0000	DS 1F27		+2 01A6															
CX 0000	BP 0000	ES 1F27		+4 4689	OF	DF	IF	SF	ZF	AF	PF	CF							
DX 0000	SP 2C3E	SS 1F27	FS 1F27	+6 83F8	0	0	1	0	0	0	0	0	0	0					

CMD > 1 primer					0	1	2	3	4	5	6	7							
				DS:0000	CD	20	FF	9F	00	9A	3E	2B							
				DS:0008	58	FD	67	02	FB	11	58	33							
0100 55	PUSH BP			DS:0010	FB	11	80	26	FB	11	1D	11							
0101 8BEC	MOV BP,SP			DS:0018	01	01	01	00	02	FF	FF	FF							
0103 83EC42	SUB SP,0042			DS:0020	FF	FF	FF	FF	FF	FF	FF	FF							
0106 8A4606	MOV AL,[BP+06]			DS:0028	FF	FF	FF	FF	DE	11	80	D2							
0109 2AE4	SUB AH,AH			DS:0030	FB	11	14	00	18	00	27	1F							
010B 50	PUSH AX			DS:0038	FF	FF	FF	FF	00	00	00	00							
010C 90	NOP			DS:0040	06	14	00	00	00	00	00	00							
010D 0E	PUSH CS			DS:0048	00	00	00	00	00	00	00	00							

2	0	1	2	3	4	5	6	7	8	9	A	B	C	D	E	F			
DS:0000	CD	20	FF	9F	00	9A	3E	2B	58	FD	67	02	FB	11	58	33>+ X.g...X3		
DS:0010	FB	11	80	26	FB	11	1D	11	01	01	01	00	02	FF	FF	FF	...&....		
DS:0020	FF	FF	FF	FF	FF	FF	FF	FF	FF	FF	FF	FF	DE	11	80	D2		
DS:0030	FB	11	14	00	18	00	27	1F	FF	FF	FF	FF	00	00	00	00		
DS:0040	06	14	00	00	00	00	00	00	00	00	00	00	00	00	00	00		

1	Step	2	StepProc	3	Retrieve	4	Help	5	Set BRK	6		7	up	8	dn	9	le	0	ri

sl. 4.1. Radni ekran IBM Fullscreen Debugger

Podrška navedenom softveru, kao i programu INDVEK.ASM je IBM PC/AT računar opšte namene, koga pokreće operativni sistem MS DOS, verzija 5.0.

4.2. Struktura programa

Osnovu ovoga rada predstavlja program INDVEK.ASM, koji možemo podeliti na dve međusobno povezane celine. Jednu celinu predstavlja deo koji se odnosi na inicijalizaciju perifernih jedinica, promenu uèestanosti interapta i komunikaciju sa korisnikom. U ovu celinu spada i deo kojim se ispisuje rezultat na ekranu, kao i deo koji obezbeđuje nedestruktivni izlazak iz programa. Skup ovih delova predstavlja proceduru nazvanu prim.

Na samom poèetku programa rutinom UZIMA saèuvani su segmentna adresa i ofset originalne prekidne rutine interapta 1CH neophodni za izlazak iz programa. Rutinom INICI su postavljeni modovi u kojima rade PPI-e, dok se u delu programa nazvanom PROM vrši promena uèestanosti generisanja hardverskog interapta 08H od strane sistemskog tajmera. Ovom rutinom dodeljuje se i adresa nove procedure na èije izvršavanje se prelazi sa nastankom interapta 1CH, koga generiše interapt 08H. Deo nazvan PETLJA obezbeđuje ispis izraèunte brzine na ekranu. Ova rutina izvršava se asinhrono, prekidana od strane interapta, nastavlja sa radom po završetku prekidne rutine od mesta na kome je bila prekinuta. Takođe obezbeđuje i izlazak u rutinu DIALOG kojom se komunicira sa korisnikom. Još jedna rutina je predviđena za komunikaciju sa korisnikom. To je deo programa nazvan UNOS u kome se od korisnika zahteva da unese željenu brzinu motora u predviđenom opsegu, da bi se potom uneta brzina prilagodila obliku neophodnom za dalji rad programa. Rutina EXIT vraća sistemskom tajmeru njegovu standardnu uèestanost i interaptu 1CH dodeljuje njegovu originalnu prekidnu rutinu. Nakon toga vrši se izlazak iz programa i povratak u DOS.

Drugu celinu programa INDVEK.ASM predstavlja procedura prenos. Ona se izvršava svake milisekunde generisanjm interapta 1CH i predstavlja deo programa u kome se softverski realizuje indirektna vektorska kontrola.

Rutina BROJAC uzima informaciju o trenutnom položaju rotora, koja se zatim obrađuje u delu programa pod imenom BRZROT. Softverska realizacija brzinskog PI regulatora u inkrementalnom obliku ostvarena je rutinom PIREG. Nakon toga je izraèunat položaj vektora rotorskog fluksa u rutini UGAO, da bi transformaciju koordinata iz rotacionog d-q sistema u stacionarni α - β koordinatni sistem realizovali u delu programa nazvanom STRUJE. U ovoj rutini su korišæene odgovarajuæe vrednosti sinusa i kosinusa izraèunatog ugla rotorskog fluksa dobijene iz tabele SINBRZ.INC, koja je formirana programom SINBRZ.BAS napisanim u QBASIC. Ovde je prikazan listing ovoga programa:

```

;*****
DIM m(256)

pi = 3.1415926#

OPEN "sinbrz.inc" FOR OUTPUT AS #1

FOR i = 0 TO 255
    teta = 2 * pi * i / 256
    m(i) = SIN(teta) * 4000
NEXT i

PRINT #1, ";sinusna tabela za vrednosti ugla od 0 do 255:"
FOR i = 0 TO 255
    PRINT #1, "  DW",
    x = m(i)
    a$ = HEX$(x)
    PRINT #1, "0"; a$; "H;"
NEXT i
CLOSE #1
END
;*****

```

Rutinom EKTRAN je omoguæeno praæenje prelaznih procesa izbacivanjem odgovarajuæih vrednosti brzine na dodatni D/A konvertor. Lista potprograma se završava rutinom izlaz kojom se vraæaju sadržaji registara na vrednosti koje su imali pre trenutka nastajanja interapta.

4.3. Listing programa

U ovom poglavlju je dat listing programa INDVEK.ASM sa adekvatnim komentarima. Programom je omoguæeno zadavanje referentnih vrednosti kontrolisane velièine i oèitavanje njene trenutne vrednosti na ekranu. Celokupna komunikacija sa korisnikom obavlja se na srpskom jeziku. Program je preveden, povezan i isproban na laboratorijskom modelu pogona. Pokazao je zadovoljavajuæe rezultate, što je dokumentovano i osciloskopskim snimcima u narednom poglavlju.

```

;*****
***
;*      Program za indirektnu vektorsku kontrolu asinhronog motora
*
;*          diplomski          rad          Gorana          Medenice
*
;*          septembar          1995.
*
;*****
***
    name indvek          ;Ime programa.

    stek segment stack          ;Na ovaj nacin rezervisemo prostor na
steku
    db 128 dup(?)          ;gde ce se smestati tekuce vrednosti regi-

```

```

    stek ends ;stara prilikom prekidnih rutina.
;*****
***
    data segment ;Deo programa u kome se deklarisu prome-
;nljive.
    include sinbrz.inc ;Uvrstavamo tabelu sinusnih vrednosti u
data
;segment, nezavisno formiranu u qbasic-u.
    zeljena db 'Vasa zeljena brzina je (-01390 * 001390):$'
;Tekstualni
    upozori db 'Zeljena brzina nije korektna.$' ;podaci za
    izlazak db 'Zelite li da napustite program (y/n)?$' ;komunika
    promena db 'Zelite li da promenite brzinu (y/n)?$' ;ciju sa

;korisnikom.
    smer db ? ;Promenljive koje koristimo za ispis
trenu-
    x db ? ;tne brzine na monitoru.
    y db ?
    z db ?
    w db ?
    hil dw 3E8H ;Definisemo konstantne vrednosti
promenljivi-
    sto dw 64H ;vih.
    des dw 0AH
    tmp db ? ;Promenljiva iskoricena kao brojac.
    zapis dw ? ;Promenljive koje koristimo prilikom
obrade
    suma dw ? ;signala sa encoder-a i racunanja
trenutnog
    terot dw ? ;polozaja uglova rotora i klizanja u cilju
    teslow dw ? ;pronalazenja ugla koji zaklapa d-osa
rota-
    teshigh dw ? ;cionog koordinatnog sistema sa alfa-osom
    inklow dw ? ;nepomicnog koordinatnog sistema vezanog
za
    inkhigh dw ? ;stator.
    teta_e db ?
    trenlow dw ? ;Pomocne promenljive.
    trenhigh dw ?
    znak db ?
    provera dw ?
    stara dw ?
    brzina dw ? ;Trenutna vrednost brzine.
    zadbrz dw ? ;Zadata vrednost brzine.
    idzad dw 126 ;Struja statora paralelna sa d-osom kojom
;se upravlja fluksom, konstantne
vrednosti.
    iqzad dw ? ;Struja statora normalna na d-osu kojom se
;kontrolise moment.
    Kint dw 10 ;Integralna konstanta u PI brzinskom reg.
    Kprop dw 7 ;Proporcionalna konstanta u PI brz. reg.
    sinus dw ? ;Promenljive u koje se smestaju vrednosti
    cosin dw ? ;sinusa i cosinusa ugla obrtnog polja.
    stari_seg dw 1 ;Ovde se cuvaju segment i offset
originalne
    stari_off dw 1 ;prekidne rutine koja se menja u programu.
    zadata db 7 ;Rezervisano za unos zadate brzine.
    data ends
;*****
***
    prog segment ;Izvrzni deo programa.
    assume cs:prog,ss:stek,ds:data ;Dodeljivanje segmentnim regi-
;strima adresa segmenata.
    prim proc ;Pocetak procedure 'prim'.

```



```

    mov ax,data                ;Assembler zahteva eksplicitno punjenje
data
    mov ds,ax                 ;segmenta.
;*****
***
UZIMA:mov ah,35H             ;Na ovaj nacin ce preko interrupt-a 21H i
    mov al,1CH               ;njegove funkcije 35H biti sacuvana origi-
    int 21H                  ;nalna prekidna rutina interrupt-a 1CH
koji
    mov dx,es                 ;se koristi u izmenjenom obliku u ovom
pro-
    mov stari_seg,dx         ;gramu.
    mov stari_off,bx
;*****
***
INICI:mov dx,303H           ;Postavljanje CR prve PPI-e koji se nalazi
    mov al,9AH              ;na adresi 303H cime se definisu modovi
ra-
    out dx,al                ;da portova A,B,C. Modovi se odreduju na
                                ;osnovu brojne vrednosti upisane u CR
(9AH).
    mov dx,307H             ;Postavljanje CR druge PPI-e koji se
nalazi
    mov al,80H              ;na adresi 307H
    out dx,al
                                ;na adresi 30BH
    mov dx,30BH             ;Postavljanje CR trece PPI-e koji se
nalazi
    mov al,92H              ;na adresi 30BH
    out dx,al
;*****
***
    mov tmp,23               ;Postavljanje pocetnih vrednosti
promenljivih.
    mov suma,0
    mov stara,0
                                ;Pozivanje potprograma za komunikaciju sa
    call unos                ;korisnikom i unos podataka sa tastature.
;*****
***
PROM: cli                   ;Onemogucavanje dogadjanja interrupt-a.
    mov dx,43H               ;Promena ucestanosti generisanja interrupt
    mov al,36H               ;08H od strane sistemskog timer-a sa 55ms
    out dx,al                ;na lms unosenjem nove vrednosti u brojac
0
    mov dx,40H               ;koji se nalazi na adresi 40H.
    mov al,54H
    out dx,al
    mov al,02H
    out dx,al
    sti                       ;Omogucavanje desavanja interrupt-a.

    mov dx,seg prekid        ;Promena sadrzaja prekidne rutine
interrupt
    mov ds,dx                ;1CH pomocu funkcije 25H interrupt-a 21H.
    mov dx,offset prekid     ;Interrupt-u 1CH se dodeljuje nova
prekidna
    mov ah,25H               ;rutina 'prekid' napisana nize u programu.
    mov al,1CH
    int 21H
;*****
***
    mov ax,data
    mov ds,ax                ;Spora ili glavna petlja koja se odradjuje

```

```

PETLJA:mov ah,06H      ;van interrupt-a, asinhrono.
      mov dl,0FFH      ;Omogucavanje izlaska iz petlje pritiskom
      int 21H          ;na bilo koji taster pomocu funkcije 06H
      jnz dialog       ;interrupt-a 21H, cime se prelazi na pot-
                        ;program 'dialog'.

      mov dl,0DH       ;Pozicioniranje cursor-a na pocetak reda
      mov ah,02H       ;pomocu funkcije 02H interrupt-a 21H
posta- int 21h         ;vljanjem 0DH u registar dl(carriage
return).

      mov ax,brzina    ;Priprema za ispisivanje vrednosti
trenutne               ;brzine na monitor,pri cemu brzina moze
      cmp ax,0         ;ima-
      jge skok         ;jge skok                ;iti pozitivnu i negativnu vrednost,
zavisno               ;od smera obrtanja,sto je potrebno prvo
      neg ax           ;ispitati.
      mov smer,148

skok: sub dx,dx        ;Postavljanje vrednosti 0 u registar dx.
      div hil          ;Deljenje brzine koja se nalazi u registru
      mov x,al         ;ax sa 1000 da bi dobili cifru koju cemo
                        ;ispisati na monitoru na mestu
hiljada,sme-         ;stenu u x. Prebacivanje ostatka deljenja
u
      mov ax,dx
      sub dx,dx        ;registar ax i deljenje tog ostatka sa 100
      div sto         ;da bi dobili cifru stotina,koju smestamo
u
      mov y,al        ;promenljivu y.

      mov ax,dx        ;Dobijanje cifre desetice na identican na-
      sub dx,dx        ;cin i njeno smestanje u promenljivu z.
      div des
      mov z,al
      mov w,dl        ;I ostatak deljenja kao broj jedinica sme-
                        ;sten u promenljivu w.
Znak
      mov dl,smer     ;Krecemo sa ispisom brzine na monitor.
      add dl,30H      ;broja, tj. njegov ASCII kod, smestamo u
dl
      mov ah,02H      ;i pomocu funkcije 02H (Character output)
      int 21H         ;interrupt-a 21H ispisujemo.

      mov dl,x        ;Cifru hiljada ubacujemo u registar dl,
do-
      add dl,30H      ;dajemo toj vrednosti broj 30H i dobijamo
      mov ah,02H      ;ASCII vrednost te cifre.Karakteri od 0 do
      int 21H         ;9 imaju ASCII vrednosti od 30H do 39H,
ko-
      mov dl,y        ;je se sada nalaze u registru dl i na taj
      add dl,30H      ;nacin se pomocu funkcije 02H interrupt-a
      mov ah,02H      ;21H ispisuju na monitor. Istu logiku
      int 21H         ;primenjujemo i za ispis cifara stotina,
                        ;desetica i jedinica.

      mov dl,z
      add dl,30H
      mov ah,02H
      int 21H

      mov dl,w
      add dl,30H

```

```

    mov ah,02H
    int 21H

    mov smer,0
    vracamo
    jmp petlja
;*****
***
DIALOG:call novired
    lea dx,izlazak
u
    mov ah,09H
ni-
    int 21H
ispisu-
    mov ah,01H
    int 21H
al.
    cmp al,79H
slo-
    je exit
pot-
    cmp al,59H
slovo
    je exit
    call novired
    lea dx,promena
    mov ah,09H
    int 21H
    mov ah,01H
tas-
    int 21H
    cmp al,79H
tastature.
    jne ispit
napotprogram
    call unos
ispit:cmp al,59H
    jne kraj
    call unos
kraj: call novired
    jmp petlja
;*****
***
EXIT: cli
    mov al,36H
    out 43H,al
    mov al,0FFH
    out 40H,al
    out 40H,al
    sti

    mov dx,stari_off
    mov bx,stari_seg
funkcije
    mov ds,bx
su
    mov ah,25H
i
    mov al,1CH
    int 21H

    mov ah,4CH
pomo-

```

;Postavljamo 0 u promenljivu smer radi po-
;novnog odredjivanja znaka brzine i

;se na pocetak petlje.

;Pozivanje potprograma 'novired'.

;Smestanje offset-a promenljive 'izlazak'

;registar dx koji predstavlja pokazivac

;ske karaktera za funkciju 09H koja

;je tu nisku na monitor.

;Funkcija 01H cita karakter sa tastature i
;prikazuje ga na ekranu, smestajuci ga u

;Uporedjujemo uneti znak sa ASCII kodom

;va Y i ukoliko je identican skacemo na

;program 'exit' koji nam omogucuje izlazak
;iz programa.Proveru vrsimo i za malo

;y (59H). Sa ovim obezbecujemo prelazak u
;novi red. Ponavljamo operaciju za prome-
;nljivu 'promena' kojom se obezbecuje pro-
;mena zadate brzine na taj nacin sto ce se
;potvrdnim odgovorom, tj. pritiskom na

;ter y, preci na potprogram 'unos' koji
;obezbecuje unosenje podataka sa

;Postupak je identican prelasku

;'exit'. Pozivanje potprograma 'unos'.

;Povratak u petlju.

;Izlazak iz programa na taj nacin sto se
;sistemski timer vraca na generisanje
;interrupt-a 08H na svakih 55 ms punjenjem
;njegovog brojaca 0 na adresi 40H jedini-
;cama.

;Pored toga potrebno je i vratiti origina-
;lnu rutinu interrupt-u 1CH pomocu

;25H. Segment i offset originalne rutine

;bili sacuvani u promenljivim 'stari_seg'

;'stari_off'.

;Izlazak iz programa i povratak u DOS

```

int 21H ;cu funkcije 4CH interrupt-a 21H.
;*****
***
UNOS: call novired ;Potprogram koji omogucuje unosenje
zeljene
lea dx,zeljena ;brzine sa tastature. Ispis promenljive
'ze-
mov ah,09H ;ljena' na vec opisani nacin.
int 21H
lea dx,zadata ;Unosenje karaktera sa tastature i smesta-
mov ah,0AH ;nje u promenljivu 'zadata'ciji je offset
int 21H ;prebacen u registar dx koji sluzi kao po-
add dx,2 ;kazivac funkciji 0AH interrupt-a 21H.
Broj
mov bx,dx ;unesen sa tastature predstavlja nisku
zna-
mov ax,[bx] ;kova,a ne stvarnu vrednost pa je potrebno
cmp al,2DH ;izvrsiti obradu niske. To radimo tako sto
jne znaci ;uzimamo po dva karaktera smestena u ah i
mov znak,1 ;al,od njih oduzimamo po 30H i dobijamo
ci-
znaci:add bx,2 ;fre, prvo hiljada i stotina, a potom i
mov ax,[bx] ;desetica i jedinica.
sub ah,30H
sub al,30H
xchg ah,al ;Mesta cifara hiljada i stotina su
zamenjena
aad ;a onda je izvrsono njihovo prilagodjenje
mul sto ;binarnom brojnomo sistemu i mnozenje sa
100.
mov provera,ax ;Dobijeni rezultat se cuva u promenljivoj.
add bx,2 ;Ponavljamo postupak za dobijanje cifara
de-
mov ax,[bx] ;setica i jedinica.
sub ah,30H
sub al,30H
xchg ah,al
aad ;Dobijamo vrednost za desetice i jedinice
i
add provera,ax ;sabiramo je sa promenljivom 'provera' u
ko-
call novired ;joj se sada nalazi brojna vrednost koja
od-
cmp provera,0 ;odgovara zadatoj brzini. Vrsimo proveru
da
jl greska ;li je zadata brzina u predvidjenom
opsegu.
cmp provera,1390 ;Ukoliko nije skacemo na label-u 'greska',
jg greska ;a ukoliko jeste smestamo je u
promenljivu
cmp znak,0 ;'zadbrz' sa kojom dalje radimo.
je pozit
neg provera
mov znak,0
pozit:mov ax,provera
mov zadbrz,ax
jmp skoci
greska:lea dx,upozori ;Izbacujemo upozorenje na ekran o pogresno
mov ah,09H ;unetoj brzini i vracamo se na pocetak
int 21H ;'unos'-a.
jmp unos
skoci:ret ;Povratak na mesto sa koga je potpr.
pozvan
;*****
***

```

```

NOVIRED:mov dl,0AH          ;Potprogram koji obezbecuje prelazak u
novi
        mov ah,02H          ;red.Postavljauci 0AH u registar
dl,funkci-
        int 21H             ;ja 02H ce popuniti tekuci red (Line
Feed),
        mov dl,0DH          ;a sa 0DH u dl izvorsiti povratak cursor-a
        mov ah,02H          ;na pocetak, sada sledeceg reda (Carriage
        int 21H             ;Return).
        ret                 ;Povratak.

        prim endp          ;Zavrsetak procedure 'prim'.
;*****
***
        prenos proc        ;Prekidna rutina koja se dodeljuje
interrupt
                                ;1CH umesto originalne.
prekid:push ax                ;Smestanje sadrzaja registara koji se
kori-
        push dx              ;ste u ovoj prekidnoj rutini na stek.
Vred-
        push ds              ;nosti u registrima koje su bile u
trenutku
        push bx              ;nastajanja interrupt-a bice sacuvane na
        push cx              ;steku po LIFO principu.

        mov ax,data
        mov ds,ax
;*****
***
BROJAC:mov dx,302H           ;Izbacivanje jedinica na port A prve PPI-e
        mov al,0FFH         ;koji se nalazi na adresi 302H,radi
lecova-
        out dx,al           ;inja stanja brojaca.
        mov dx,308H         ;Punjenje porta A (adresa 308H) i porta B
        in al,dx            ;(adresa 309H) trece PPI-e sa trenutnim
        mov ah,al           ;stanjem brojaca.Signal koji stize sa
        mov dx,309H         ;encoder-a.
        in al,dx
;*****
***
BRZROT:mov bx,ax            ;Trenutno stanje brojaca se nalazi u
regist-
        sub ax,zapis        ;ru ax, a prethodno stanje je zapamceno u
        cmp ax,1250         ;promenljivoj 'zapis'. Potrebno je dobiti
        jl napre           ;ugao za koji se promeni polozej rotora
iz-
        sub ax,2500         ;mecu dva interrupt-a kao razliku ova dva
        jmp pravo          ;broja.Potrebno je izvorsiti korekciju
dobi-
napre:cmp ax,-1250         ;jenog rezultata u slucaju da je brojac
bio
        jg pravo           ;setovan ili resetovan izmecu dva
ocitavanja
        add ax,2500         ;Dobijena razlika se smesta u promenljivu
pravo:mov zapis,bx        ;'terot'.
        mov terot,ax
        add suma,ax        ;Kako se brzina ne racuna tokom svakog
prola-
        cmp tmp,0          ;ska kroz prekidnu rutinu zbog velike
ucesta-
        ja presko         ;nosti interrupt-a,potrebno je pomeraje
racu-
        mov tmp,24         ;nate u svakom interrupt-u sabirati i
obradi-

```

```

        mov ax,suma                ;ti svake 12-e ms.Rezultat se upisuje u
pro-
        mov bx,2                    ;menljivu 'brzina', a promenljiva 'suma'
se
        imul bx                      ;postavi na 0.
        mov brzina,ax
        mov suma,0
;*****
***
PIREG:mov ax,zadbrz                ;Realizacija brzinskog PI regulatora.Od
ula-
        sub ax,brzina                ;zne reference 'zadbrz' oduzimamo izmerenu
        cmp ax,0                      ;vrednost 'brzina'. Ubacivanjem jedinica
ili
        jge razlic                    ;nula u dx registar zavisno od znaka
razlike,
        mov dx,0FFFFH                ;obezbecujemo korektnost deljenja sa
znakom.
        jmp pocni                      ;Deljenje sa Kint =10 je ustvari mnozenje
sa
razlic:mov dx,0000H                ;stvarnim integralnim koeficijentom koji
iz-
pocni:idiv Kint                      ;nosi 0.1 .Dobijeni kolicnik se oduzima od
        sub iqzad,ax                  ;struje Iq koja odrecuje vrednost momenta.
        mov ax,stara                  ;Proporcionalni deo regulatora koji je
ovde
        sub ax,brzina                ;realizovan u inkrementalnom obliku.Od
pret-
        cmp ax,0                      ;hodno sracunate brzine, smestene u
promen-
        jl ceta                        ;lljivoj 'stara',oduzimamo trenutnu
vrednost
        mov dx,0000H                ;brzine i mnozimo je sa proporcionalnim
koe-
        jmp sigma                      ;ficijentom koji iznosi 0.125 . Dobijenu
ceta: mov dx,0FFFFH                ;vrednost oduzimamo od Iq, a trenutnu
brzinu
sigma:idiv Kprop                    ;smestamo u promenljivu 'stara'.
        sub iqzad,ax
        mov ax,brzina
        mov stara,ax
        cmp iqzad,-992                ;Proveravamo da li je sracunata struja Iq
u
        jg gama                        ;predvidjenim granicama nametnutim
ogranice-
        mov iqzad,-992                ;nim mogucnostima D/A konvertora. Ukoliko
gama: cmp iqzad,992                ;njena vrednost prelazi dozvoljeni
maksimum,
        jl presko                      ;dodeljujemo joj limitiranu vrednost.
presko:dec tmp
        mov al,00H                      ;Vrsimo odmrzavanje stanja brojaca.
        mov dx,302h
        out dx,al
;*****
***
UGAO: mov ax,iqzad                ;Trazimo trenutni polozej rotorskog fluksa
        mov bx,19                      ;u odnosu na alfa osu stacionarnog koordi-
        imul bx                          ;natnog sistema. Prvo racunamo ugao kliza-
        mov bx,2467                      ;nja na osnovu trenutne vrednosti struje
        imul bx                          ;Iq i konstantnih vrednosti Tr i Id prila-
        mov teslow,ax                    ;godjenih u konstanti 19x2467 i 32-o bitni
        mov teshigh,dx                  ;rezultat smestamo u promenljive.
        mov ax,terot                    ;Racunamo ugao rotora mnozeci broj impulsa
        mov bx,199                      ;koji su stigli sa encoder-a izmedju doga-

```

```

    imul bx                ;djanja dva interrupt-a sa konstantom 199x
    mov bx,8633           ;8633. Dobijenom broju dodajemo vrednost
    imul bx              ;sracunatu za ugao klizanja. Primenjeno je
    sub ax,teslow        ;oduzimanje i oduzimanje sa pozajmicom
koje
    sbb dx,teshigh       ;podrzava logiku pozitivnih i negativnih
    sub inklow,ax         ;brojeva. Inkrementirajuci prethodnu vred-
    sbb inkhigh,dx       ;nost za ugao fluksa sa novodobijenim bro-
    mov ax,inkhigh       ;jem, dobijamo ugao 'teta_e' kao 8 gornjih
    mov teta_e,ah        ;cifara krajnje izracunate vrednosti.
;*****
***
STRUJE:mov ax,2          ;Racunanje izlaznih struja Ialfa i Ibeta.
    mul teta_e            ;Iz tabele 'sinbrz' uvrstene na pocetku
da-
    mov bx,ax            ;ta segment-a uzimamo vrednosti za sinus i
    mov ax,[bx]          ;kosinus ugla rotorskog fluksa 'teta_e',
    mov sinus,ax         ;potrebnih za transformaciju iz d-q u
alfa-
    imul iqzad           ;beta koordinatni sistem. Transformacija
se
    mov trenlow,ax       ;vrsti po jednacinama:
    mov trenhigh,dx      ;Ialfa =idzad*sin(teta_e) -
iqzad*cos(teta_e)        ;Ibeta  =idzad*cos(teta_e)
    add teta_e,64
+iqzad*sin(teta_e)
    cmp teta_e,255       ;i ovde su one realizivane.
    jbe delta
    sub teta_e,255
delta:mov ax,2
    mul teta_e
    mov bx,ax
    mov ax,[bx]
    mov cosin,ax
    imul idzad
    sub ax,trenlow       ;Izracunata vrednost za Ialfa kao 32-bitna
    sbb dx,trenhigh     ;informacija se sada nalazi u registrima
ax
    mov bx,31493         ;i dx. Potrebno je tu vrednost prilagoditi
    idiv bx             ;mogucnostima ispisa na DAC-u, na taj
nacin
    cmp ax,0            ;sto je delimo sa brojem 31493. Radi
dobija-
    jl alfneg           ;nja tacnije informacije, vrsimo
zaokruziva-
    cmp dx,15746        ;nje dobijenog broja. Ostatak koji se
nalazi
    jb ispalf           ;u registru dx uporedjujemo sa polovinom
    inc ax              ;vrednosti delioca i ukoliko je veci
inkre-
    jmp ispalf          ;mentiramo izlazni rezultat. Potrebno je
alfneg:neg dx           ;predvideti i dobijanje negativnog
ostatka,
    cmp dx,15746        ;njegovo invertovanje i u slucaju potrebe
    jb ispalf          ;sada dekrementiranje izlazne vrednosti.
    dec ax
ispalf:add ax,128       ;Dobijenoj vrednosti dodajemo 128 radi
pri-
    mov dx,304H         ;lagodjavanja ispisa informacije na DAC-u
    out dx,al           ;(od 0 do 255) i vrednost za struju Ialfa
    mov ax,idzad        ;izbacujemo na port A druge PPI-e, koji se
    imul sinus          ;nalazi na adresi 304H. Celokupni postupak
    mov trenlow,ax      ;ponavljamo za izracunavanje struje Ibeta.
    mov trenhigh,dx
    mov ax,iqzad

```

```

        imul cosin
        add ax,trenlow           ;U registrima ax (donjih) i dx (gornjih 16
        adc dx,trenhigh         ;bita) se nalazi 32-bitna informacija o
        mov bx,31493           ;struji Ibeta, koju prilagodjavamo ispisu
        idiv bx                 ;na D/A konvertoru.
        cmp ax,0
        jl betneg
        cmp dx,15746           ;Vrsimo zaokruzivanje dobijenog broja za
po-                               ;
        jb ispbet              ;zitivne vrednosti.
        inc ax
        jmp ispbet
betneg:neg dx                   ;Zaokruzivanje dobijene vrednosti za
negati-                          ;
        cmp dx,15746           ;van ostatak.
        jb ispbet
        dec ax
ispbet:add ax,128               ;Izracunatu vrednost za struju Ibeta
izbacu-                          ;
        mov dx,305H           ;jemo na port B druge PPI-e (na adresi
305H)                               ;
        out dx,al             ;koji prosledjuje tu informaciju na DAC.
;*****
***
EKRAN:mov ax,brzina            ;Na ovaj nacin omogucujemo pracenje
prelazne                          ;
        add ax,1400           ;pojave na osciloskopu preko dodatnih D/A
        mov bl,11             ;konvertora. Vrsimo prilagodjavanje
vredno-                          ;
        div bl                ;sti brzine zahtevima za upis podataka na
        mov dx,306H           ;DAC-u i njegovom naponskom opsegu.
Dobijenu                          ;
        out dx,al             ;vrednost saljemo na port C druge PPI-e
koja                               ;
                               ;se nalazi na adresi 306H i direktno je
po-                               ;
        mov ax,iqzad          ;vezana sa D/A konvertorom. Na isti nacin
        add ax,992            ;pratimo i moment,koji je srazmeran sa
stru-                              ;
        mov bl,8              ;jom iqzad, samo preko drugog D/A
konvertora                          ;
        div bl                ;koji je povezan sa portom C trece PPI-e i
        mov dx,30AH           ;nalazi se na adresi 30AH.
        out dx,al
;*****
***
IZLAZ:pop cx                   ;Po zavrsetku prekidne rutine i povratka u
        pop bx                 ;glavnu petlju, potrebno je vratiti
sadrza-                          ;
        pop ds                 ;je registara koji su korisceni u
interrupt                          ;
        pop dx                 ;na vrednosti koje su bile u njima u
trenu-                              ;
        pop ax                 ;tku nastajanja interrupt-a.
        ired                  ;Povratak u glavnu petlju na mesto gde se
a.                                  ;nalazio u trenutku nastajanja interrupt-
;*****
***
        prenos endp           ;Kraj procedure 'prenos'.

        prog ends             ;Kraj programskog segmenta.
        end prim              ;Kraj programa.
;*****
***

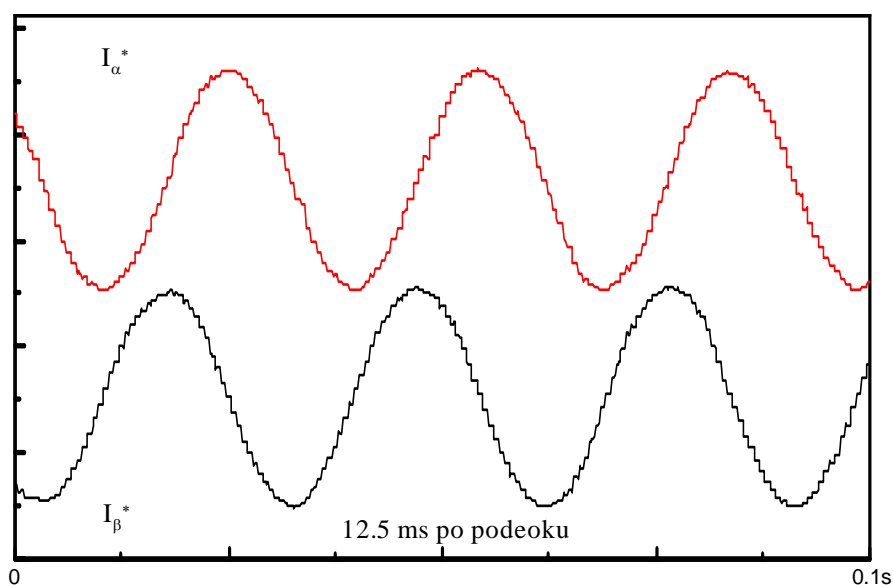
```


5. EKSPERIMENTALNI REZULTATI

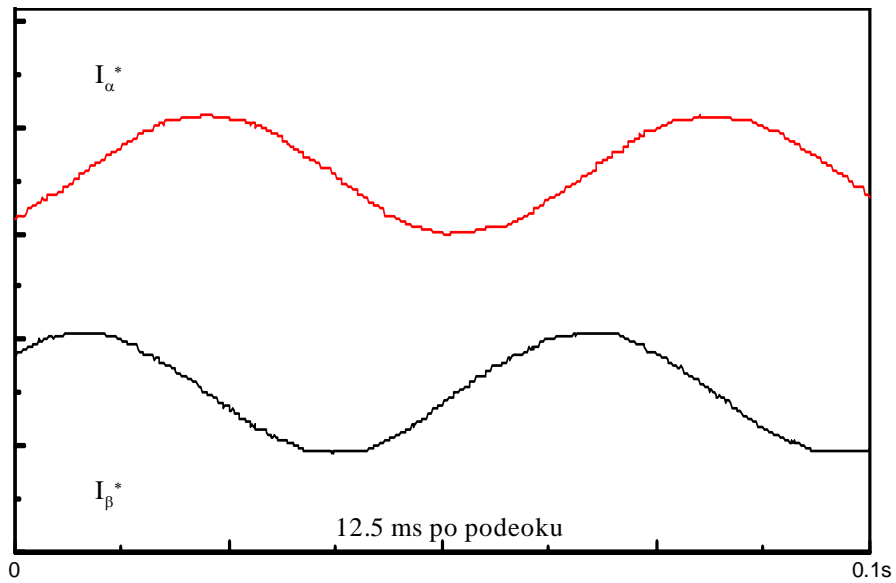
U ovom poglavlju prikazani su eksperimentalni rezultati izloženi u vidu osciloskopskih snimaka talasnih oblika snimljenih u toku prelaznih procesa i stacionarnog rada pogona. Eksperimenti su izvedeni na laboratorijskom u kome je korišćen standardni niskonaponski četvoropolni asinhroni motor snage 750 W. Promenljive su posmatrane na izlazima operacionih pojačavača D/A konvertora koji se nalaze u okviru opisanog hardvera u trećem poglavlju, kao i na D/A konvertorima ugrađenim upravo za ovu namenu. Talasni oblici su snimani pomoću digitalnog osciloskopa VC 6020, proizvodnje *HITACHI* i prebačeni u računar preko *GPIB* interfejsa pomoću programskog paketa *TVOSC*. Obrada podataka izvršena je u programu *MicoCal Origin*, verzija 3.01.

Snimak referentnih vrednosti statorskih struja u stacionarnom stanju je dat na slikama 5.1., 5.2. i 5.3. Snimci su dati u identičnoj razmeri i sa istim vremenskim bazama za različite ugaone brzine rotora sa kojih se može videti razlika u promeni učestanosti i amplitudi struja.

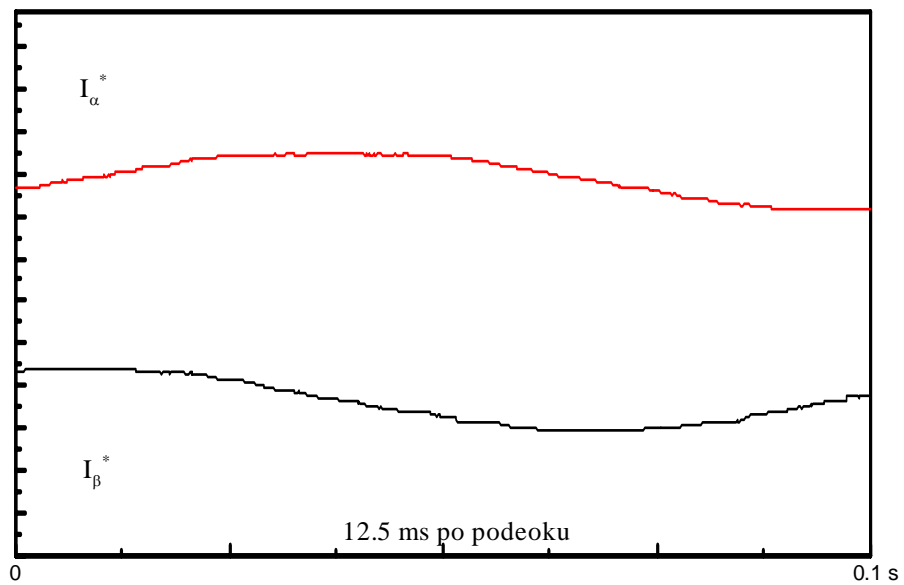
Na slikama 5.4. do 5.7. prikazani su talasni oblici brzina pri različitim promenama referentne vrednosti. Uz svaku od slika dato je objašnjenje o prelaznom procesu i primenjenoj razmeri.



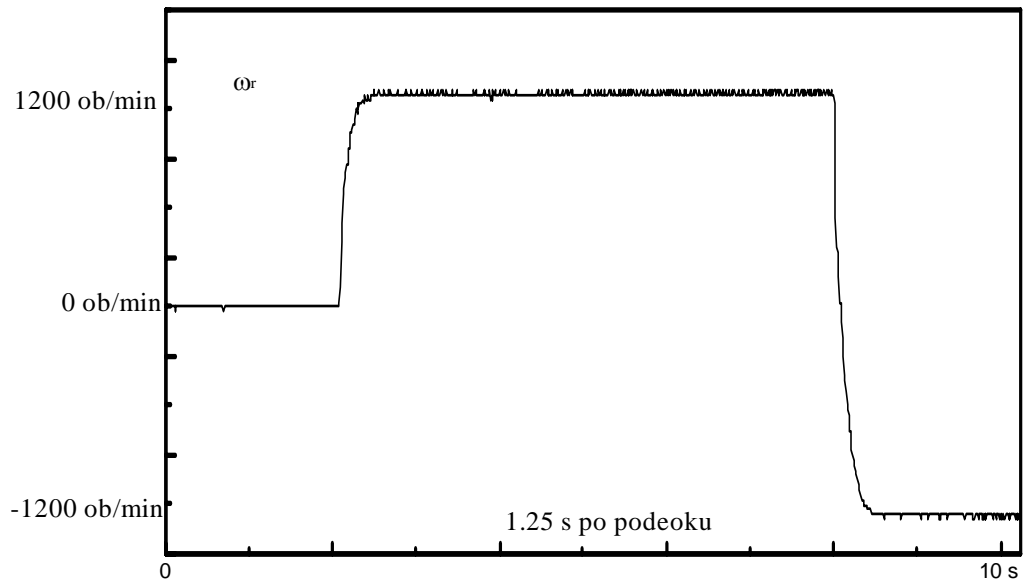
Sl. 5.1. Osciloskopski snimak struja I_{α}^* (gornji trag) i I_{β}^* (donji trag) pri ugaonoj brzini rotora od 1350 ob/min. Vertikalna razmera odgovara naponskom opsegu D/A konvertora.



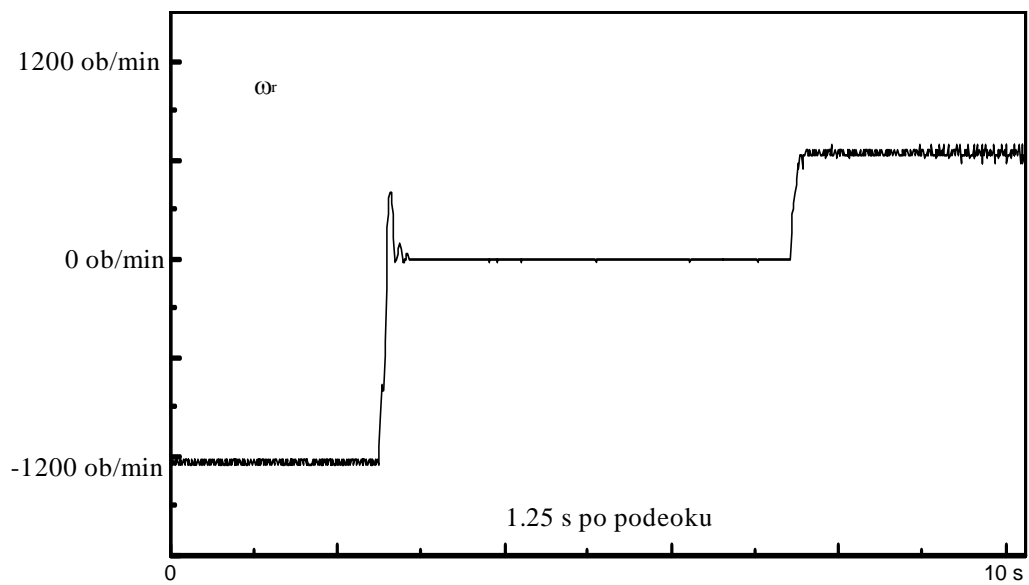
Sl. 5.2. Osciloskopski snimak struja I_{α}^* (gornji trag) i I_{β}^* (donji trag) pri ugaonoj brzini rotora od 600 ob/min. Vertikalna razmera odgovara naponskom opsegu D/A konvertora.



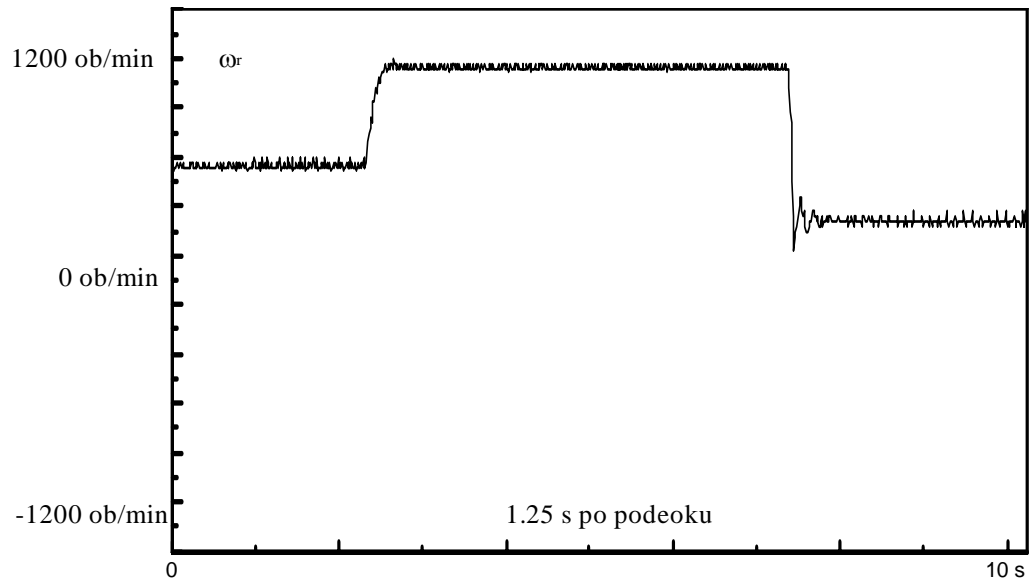
Sl. 5.3. Osciloskopski snimak struja I_{α}^* (gornji trag) i I_{β}^* (donji trag) pri ugaonoj brzini rotora od 300 ob/min. Vertikalna razmera odgovara naponskom opsegu D/A konvertora.



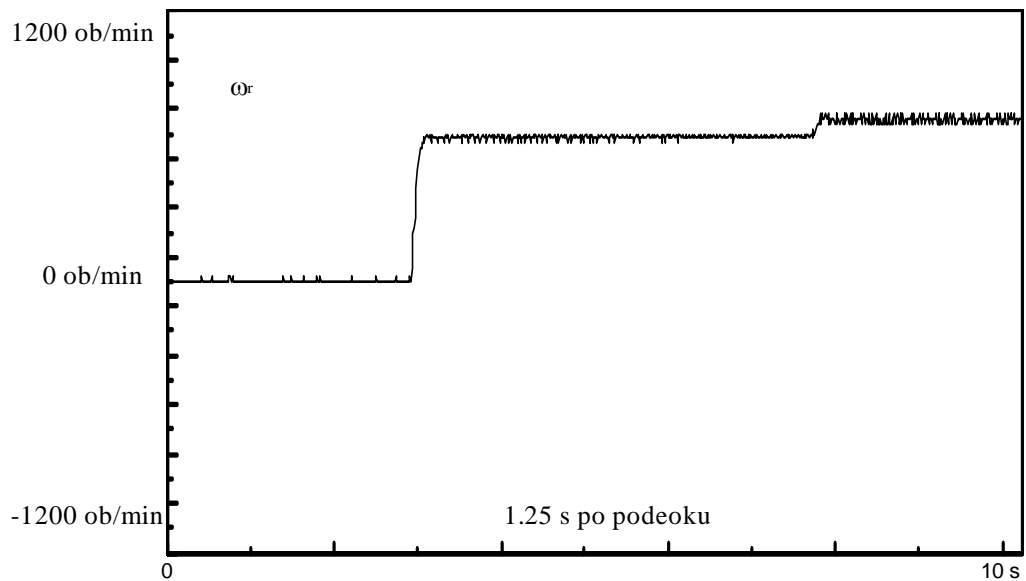
Sl. 5.4. Osciloskopski snimak ugaone brzine rotora pri promeni komandovane brzine sa 0 ob/min na 1350 ob/min, a zatim na -1350 ob/min



Sl. 5.5. Osciloskopski snimak ugaone brzine rotora pri promeni komandovane brzine sa -1350 ob/min na 0 ob/min, a zatim na 600 ob/min



Sl. 5.6. Osciloskopski snimak ugaone brzine rotora pri promeni komandovane brzine sa 600 ob/min na 1200 ob/min, a zatim na 300 ob/min



Sl. 5.7. Osciloskopski snimak ugaone brzine rotora pri promeni komandovane brzine sa 0 ob/min na 800 ob/min, a zatim na 900 ob/min

6. ZAKLJUÈAK

Ovim diplomskim radom je zapoèeto formiranje novog laboratorijskog radnog mesta za ispitivanje regulacije elektromotornih pogona sa asinhronim motorom. Na osnovu postojeæeg hardvera, koji je detaljno proveren i dokumentovan, a zatim povezan sa mikroprocesorom, napisan je softver kojim je izvedena indirektna vektorska regulacija asinhronog motora. Raspregnutim upravljanjem momentom i fluksom ostvarenim na osnovu poznatih vrednosti struje statora i mehanièke brzine rotora, uz priložene rezultate eksperimenata, pokazano je da uz sve navedene prednosti asinhronih motora nad motorima za jednosmerne struje moguæe je ostvariti i adekvatne regulacione karakteristike. Daljim radom na ovom projektu, gde bi bila obuhvaæena zavisnost parametara motora od frekvencije, temperature i zasiæenja magnetnog kola, regulacione karakteristike ovog pogona bi bile poboljšane.

Pisanje softverske osnove u asemblerskom jeziku je doneklo otežalo izradu ovoga rada, ali se pokazalo kao neophodno zbog postojanja ulazno-izlaznih rutina zahtevane efikasnosti, vremenskog ograniæenja trajanja prekidne rutine usled takta generisanja hardverskog interapta i samim tim potrebe za skraæenjem kritiènih sekcija. Komunikacija sa korisnikom i prikazivanje rezultata na ekranu takoðe su uraðeni u assembleru, što je bilo moguæe uraditi i u nekom drugom programskom jeziku (npr. *Microsoft C 5.0*).

Šeme koje su sastavni deo ovog rada su uraðene u programskom paketu *OrCad*, verzija 4.10, predstavljene u hijerarhijski struktuiranom sistemu i nalaze se na disketi koja je priložena uz ovaj rad u direktorijumu SHEME. Na istoj disketi nalaze se i ostali programi izloženi u ovom radu, ukljuèujuæi i tabelu SINBRZ.INC neophodnu za rad glavnog programa.

Potrebno je napomenuti da nastavak na razvoju ove radne stanice nije ogranièen samo na ispitivanja vektorske regulacije asinhronih motora, zahvaljujuæi tako realizovanoj hardverskoj osnovi koja omoguæava i ispitivanja ostalih naèina upravljanja elektromotornim pogonima.

Gotovi seminarski, maturski, maturalni i diplomski radovi iz raznih oblasti, lektire , puškice, tutorijali, referati - specijalizovan tim za usluge visokokvalitetnog pisanja, istraživanja i obradu teksta za kompletan region Balkana.

Posetite nas na sajtovima ispod:

WWW.MATURSKIRADOVI.NET

WWW.SEMINARSKIRAD.ORG

WWW.MATURSKI.NET

WWW.MATURSKI.ORG

WWW.SEMINARSKIRAD.INFO

Dostupni smo Vam 24h 365 dana u godini.

Za gotove verzije rada obratiti se na mail:

maturskiradovi.net@gmail.com

061/ 11-00-105

Seminarski, diplomski, maturski radovi, prevodi na engleski i eseji...